

$N_2O_3$

1931

N<sub>2</sub>O<sub>3</sub>

Verhaeck F. K., Daniels F.

J. Amer. Chem Soc., 1931, 53, 1250Kosswig'son succinylamine N<sub>2</sub>O<sub>3</sub>a N<sub>2</sub>O<sub>3</sub>.

488-III

N<sub>2</sub>O<sub>4</sub> ( структура )

1949

Broadley J.S., Robertson J.M.

Nature, 1949, 164, 915

Structure of dinitrogen tetroxide

C.A., 1950, 44, 2320d

1950

479-III

N<sub>2</sub>O<sub>3</sub> (%)

Bernstein H.J., Burns W.G.

nature, 1950, 166, 1039

Potential carrier in dinitrogen tetroxide

+12.5% b. 11

b

C.A., 1951, 4105 L ✓

504-III

1950

$N_2O_5$  (структура)

Eriks K.

Chem. Weekblad, 1950, 46, 831-3

The crystal structure of nitrogen pentoxide

C.A., 1951, 27402

10

anhydrite 2'0z L., Tarte P., III-181 1953

$\text{Na}_2\text{O}_3$

Bull. Soc. roy. sci. Liege, 1953, 23, 276

w 6 - 7

U. R. crescere in cristalli agommati avv. spugnosi.

Osservazione: rilevare  $\text{O}=\text{N}-\text{N}=\text{O}$ ,

$F_1 = 1830 \text{ cm}^{-1}$   $\nu(\text{N}=\text{O})$  spugna  $\text{O}=\text{N}-$

$F_2 = 1615 \text{ cm}^{-1}$   $\nu(\text{N}=\text{O})$  crescere.  $-\text{N}=\text{O}$

$F_3 = 1309 \text{ cm}^{-1}$   $\nu(\text{N}=\text{O})$  crescere.  $\text{O}=\text{N}-$

$F_4 = 770 \text{ cm}^{-1}$   &  $(-\text{N}=\text{O})$

$F_5 = 430 \text{ cm}^{-1}$  &  $(\text{ON}-\text{NO}_2)?$

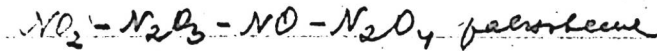
20. фернада на № и № 2 3,5-40,0 км

1957

Beattie J. R., Bell S. W.,

J. Chem. Soc., 1957, 1681.

*Trephusa cyanea*. Raab I. Com-  
parison of absorption spectra.



в разбавленной воде при 5, 15, 25, 35 и 45°

$$N_{2O_3} = NO + NO_2$$

$$\Delta H = 9527 \pm 9.6 \text{ кал/моль}$$

$$\Delta S = 33,25 \pm 0,35 \text{ кал/моль·град}$$

483-III

$N_2O_3$  (структура).

1959

Mason J.

J. Chem. Soc., 1959, March, 1283-  
1295 (англ.)

Азотистый антицирц. Некоторые наблю-  
дения, касающиеся его электронного  
спектра и строения

РХ., 1959, № 22, 77393

10

1960

 $N_2O_3$ 

Kisatsune I. C.

MK crews

U. S. Dept. Com., Office Tech.

(an.  $N_2O_4$ )

Serv., PB. Rept. 148716, 47 pp. (1960)

III. The spectrum of  $N_2O_3$

№203

III - 469

1960

спектр  
структур

4B181. Спектр комбинационного рассеяния и структура  $N_2O_3$ . Hisatsune I. C., Devlin J. P. The Raman spectrum and the structure of  $N_2O_3$ . «Spectrochim. acta», 1960, 16, № 4, 401—406 (англ.).—С целью определения структуры  $N_2O_3$  исследован спектр комб. рас. раствора  $N_2O_3$  в хлористом метилене при  $-30^{\circ}C$ . По результатам исследования спектров комб. рас. и ИК-поглощения и термодинамич. данным установлено, что молекула  $N_2O_3$  имеет плоскую нитронитрозоструктуру с углом N—N—O (O — нитрозогруппы), равным  $100^{\circ}$ . В спектре комб. рас. не наблюдалась линия, соответствующая крутильным колебаниям. Термодинамич. расчетом показано, что частота этой линии будет  $< 50 \text{ см}^{-1}$ .  
Библ. 18 назв.

В. Пивоваров

оп. 1961-4

$N_2O_3$

раман

спектр

III-469

1960

13Б113. Спектр комбинационного рассеяния и  
строение  $N_2O_3$ . Hisatsune I; C., Devlin J. P. The  
Raman spectrum and the structure of  $N_2O_3$ . «Spectro-  
chim. acta», 1960, 16, № 4, 401—406 (англ.).—В спектре  
комб. расс. р-ров  $N_2O_3$  (I) в  $CH_2Cl_2$ , полученном при  
 $-30^\circ$ , найдено 6 линий: 1849, 1600, 1291, 772, 614 и  
 $253\text{ см}^{-1}$ . В сочетании с результатами исследования  
ИК-спектра эти данные позволяют идентифицировать  
8 из 9 основных частот I. Не найдена частота крутиль-  
ного колебания I. Произведены расчеты энтропии I,  
исходя из различных предположений о геометрии мо-  
лекулы; результаты расчета лучше всего согласуются  
с эксперим. данными, полученными ранее (РЖХим,  
1957, № 23, 73866). Величина барьера вращения во-  
круг связи N—N согласно расчету, по-видимому, мень-  
ше, чем в случае  $N_2O_4$ .

В. Александров

20. 1961. 13

$N_2O_3$

469

Kisatsune T.C., Devlin J.P.

Spectrochim. acta, 1960, 16, 401

Спектр иониз. разе. и структура  $N_2O_3$

Иаби. газомое

	ИК $\nu_{23}$	ИК $\nu_{23\alpha\beta}$	Радиц	ИК $\nu_5$
	1830	1841	1849	1863
$\angle ONN \approx 100^\circ$	~1615	1611	1600	1589
	1309	1291	1291	1292
	770	768	772	783
	—	624	614	627
	430	—	—	407
	—	—	253	313
				—

(1960)

1960

10Б87. Иракрасные спектры некоторых нестабильных изомеров  $N_2O_4$  и  $N_2O_3$ . Hisatsune I. C., Devlin J. P., Wada Yasuo. Infrared spectra of some unstable isomers of  $N_2O_4$  and  $N_2O_3$ . «J. Chem. Phys.», 1960, 33, № 3, 714—719 (англ.).—Изучены в области 300—3000  $\text{см}^{-1}$  спектры поглощения  $N_2O_3$  и  $N_2O_4$ , сконденсированных при т-ре жидкого  $N_2$ , и спектры, полученные после нагревания соответствующих конденсатов с последующим охлаждением снова до т-ры жидкого  $N_2$ . Спектры исследовались в области 300—3000  $\text{см}^{-1}$  как естественным изотопным составом молекул, так и обогащенных изотопом  $N^{15}$ . В результате анализа полученных данных показано существование двух нестабильных изомеров  $N_2O_4$  и одного изомера  $N_2O_3$ , что подтверждает выводы, сделанные ранее (РЖХим, 1960, № 22, 87452).

В. Юргман

20.1961.10

1961

N<sub>2</sub>O  
203  
pucrg  
infof. No. 1

7 Urey-Bradley potential constants in dinitrogen trioxide.  
J. P. Devlin and I. C. Hisatsune (Kansas State Univ.,  
Manhattan). *Spectrochim. Acta* 17, 218-25(1961)(in  
English).—Force consts. of NO<sub>2</sub>, N<sub>2</sub>O<sub>4</sub>, nitrite ion, nitrosyl  
halides, and nitryl halides were used to calc. vibrational  
frequencies of N<sub>2</sub>O<sub>3</sub>. Since the structure of the latter mol.  
was unknown, several structures were considered. The  
results indicate planar C<sub>2</sub> symmetry with an N—N bond  
distance of 2.08 Å. or greater, and the N—N—O angle less  
than 110°.

George M. Murphv

480

C.A.1961, 5319  
18298 '6c.

1961

№ 203

Син.

ноябрь

2Б91. Силовые постоянные Юри — Бредли для молекулы азотистого ангидрида. Devlin J. P., Hisatsune I. C. Urey-Bradley potential constants in dinitrogen trioxide. «Spectrochim. acta», 1961, 17, № 2, 218—225 (англ.).—Предполагая для молекулы  $N_2O_3$  (I) плоскую конфигурацию (точечная группа  $C_s$ ) и варьируя значения структурных постоянных, авторы вычислили силовые постоянные I в приближении потенциального поля Юри — Бредли. Набор постоянных, обеспечивающих наилучшее согласие вычисленных и эксперим. значений основных частот I, соответствует следующим величинам структурных постоянных:  $r(N-N)$  2,08,  $r(N=O)$  1,18,  $r(N-O)$  1,12 Å,  $\angle O=N=O$   $134^\circ$  и  $\angle N-N-O$   $110^\circ$ .

B. Юнгман

д. 1962.2

1961

№ 203

Син. № 203

Фрунзе

1 В114. Постоянные потенциала Юри—Брэдли в азотистом ангидриде. Devlin J. P., Hisatsune I. C. Urey—Bradley potential constants in dinitrogen trioxide. «Spectrochim. acta», 1961, № 17, № 2, 218—225 (англ.)

Геометрическая структура молекулы азотистого ангидрида неизвестна, поэтому расчет частот колебаний выполнен для плоской и неплоской моделей с симметрией  $C_s$ , при различных значениях длины связи N—N и угла NNO. Описываются различные варианты расчетов, выполненных с использованием силовых постоянных, известных для  $N_2O_4$  и  $NOCl$ . В результате расчетов по методу наименьших квадратов по опытным значениям частот колебаний молекул  $N^{14}_2O_3$  и  $N^{15}_2O_3$  определены 12 силовых постоянных системы Юри—Брэдли и показана возможность их переноса в ряду нитро- и нитрозоединений. Дано отнесение фундаментальных частот, свидетельствующее в пользу плоской модели молекулы.

М. Ковнер

Ф. 1962. 1В

1961

Delvin J. P., Kisafasunc I.C.,

J. Spectroch. Acta, 1961, 15, 218

Исследование кипу-бисерин

гид. Налы

14/80

Кипу панце кипу-бисерин

$$R_{N-N} = 1,75 \div 2,40 \text{ \AA}; R_{N-O} = 1,18 \text{ \AA}$$

$$R_{N-O} = 1,12 \text{ \AA}; \angle N-N-O \text{ (喟))} = 113^\circ$$

$$\angle O-N-O = 134^\circ; \angle N-N-O \text{ (喟))} =$$

~90-130° в кипре <sup>14</sup>Nалы: V<sub>1</sub> (喟))20, 863, V<sub>2</sub> (акт. кипре) 1589V<sub>3</sub> (акт. кипре) 1297; V<sub>4</sub> (кипре скр.)

723, V<sub>8</sub> (upper Hemoce. mag.) 622, V<sub>5</sub> (upper  
rock) 407, V<sub>6</sub> (upper rock) 313, V<sub>7</sub> (N-N-San)  
253, V<sub>8</sub> (Kissr.) (35). Has extreme por-  
phyroblastic gneiss 2.0-2.08 (Wiss. up-  
per) & 2 N-N-O (upper) ~ 110°.

2nd phase: anatoclastic gneiss  
N-S

1962

N<sub>2</sub>O<sub>3</sub> 2/57  
u.K. 2/57  
B9-≡  
*The infrared spectrum of N<sub>2</sub>O<sub>3</sub>. I. C. Hisatsune and K. H. Rhee (Kansas State Univ., Manhattan). Proc. Intern. Meeting Mol. Spectry., 4th, Bologna, 1959 3, 989-98 (Pub. 1962). The infrared spectrum of a mixt. of N<sub>2</sub>O<sub>3</sub> and N<sub>2</sub>O<sub>4</sub> was studied in the liquid phase, 2-25 μ, and in the solid phase, 2-35 μ, at low temp. The spectrum is compared with that of pure N<sub>2</sub>O<sub>4</sub> and absorption bands due to N<sub>2</sub>O<sub>3</sub> were identified. The similarity of frequencies of the intense absorption bands indicates that 1 predominant form of the mol. is present in the gas, liquid, and solid phases. The structure of this mol. is planar; it contains an N-N bond. The 4 intense absorption bands at 1857, 1602, 1300, and 782 cm.<sup>-1</sup> are assigned to NO stretching in the NO group, anti-symmetric NO stretching, symmetric stretching, and deformation of the NO<sub>2</sub> group. The enthalpy of dissocn. of N<sub>2</sub>O<sub>3</sub> is 10.3 kcal./mole.*

S. E. Vandenberg

C.A. 1963-59-5  
4684c

B9-5258-111

*N<sub>2</sub>O<sub>3</sub>*

13 Б107. Инфракрасный спектр N<sub>2</sub>O<sub>3</sub>. Hisatsune  
I. C., Rhee K. H. The infrared spectrum of N<sub>2</sub>O<sub>3</sub>. «Advances Molec. Spectrosc. Vol. 3». Oxford — London — New York — Paris, Pergamon Press, 1962, 989—998 (англ.)

В ИК-спектре поглощения эквимолярной смеси NO и NO<sub>2</sub> в жидком ( $-55^\circ$ ) и твердом ( $-130^\circ$ ) состояниях идентифицированы полосы, принадлежащие N<sub>2</sub>O<sub>3</sub>, и предложено следующее отнесение частот основных колебаний (в  $\text{см}^{-1}$ ) для N<sub>2</sub>O<sub>3</sub> (в твердом состоянии): 1857 (вал. кол. NO), 1602 (антисимм. вал. кол. NO<sub>2</sub>), 1300 (спимм. вал. кол. NO<sub>2</sub>), 782 (деф. кол. NO<sub>2</sub>), 625 (веерное кол. NO<sub>2</sub> в плоскости N—NO<sub>2</sub>), 406 (деф. кол.) и предположительно 320 (деф. кол. NO). Остальные 2 основные частоты не обнаружены. Проведено сравнение величин основных частот NO, NO<sub>2</sub>, N<sub>2</sub>O<sub>4</sub>, N<sub>2</sub>O<sub>3</sub> и N<sub>2</sub>O<sub>5</sub>.

Б. Юнгман

*БР-III*

*X-1963-13*

*1962  
15258-III  
БР*

1962

$N_2O_3$   
спектр

~~1962-11-15~~

ВР

8 Д158. ИК-спектр  $N_2O_3$ . Hisatsune I., C., Rhee K. H. The infrared spectrum of  $N_2O_3$ . «Advances Molec. Spectrosc. Vol. 3». Oxford—London—New York—Paris, Pergamon Press, 1962, 989—998 (англ.)

ИК-спектры поглощения смеси  $N_2O_3$  и  $N_2O_4$  исследованы при низких т-рах в жидкой фазе в области 2—25  $\mu$  и в твердой фазе в области 2—35  $\mu$ . При сравнении полученных спектров с известными спектрами чистого  $N_2O_4$  идентифицированы многие полосы поглощения, принадлежащие  $N_2O_3$ . Следующая пробная интерпретация дана шести основным колебаниям молекулы  $N_2O_3$ : вал. кол. в NO-группе  $1857 \text{ см}^{-1}$ , антисим. вал. кол. NO в  $NO_2$ -группе  $1602 \text{ см}^{-1}$ , сим. вал. кол. в  $NO_2$ -группе  $1300 \text{ см}^{-1}$ , деф. кол.  $NO_2$ -группы  $782 \text{ см}^{-1}$ , веерное кол. группы  $NO_2$  относительно плоскости N— $NO_2$   $652 \text{ см}^{-1}$  и внешнее деф. кол.  $NO_2$ -группы  $406 \text{ см}^{-1}$ . Отмечается, что для интерпретации остальных трех основных колебаний необходимы дальнейшие исследования в более далекой ИК-области.

К. Василевский

окт. 1963. 8 №

Bsp-5258-III

III - 2249

1963

$N_2O_3$  (  $\gamma, \angle$  )

Akishin P.A., Vilkov L.V., Zasorin E.Z.,  
Rambidi N.G., Spiridonov V.P.

Electron diffraction investigation of  
the molecular structure of some gaseous  
oxides. "J.Phys.Soc.Japan", 1962, 17, Suppl.  
B-2, 18-19 ( ann. ).

РФ., 1963, 4 D158

10

1963

 $N_2O_3$ Yagodorskaya T.V.,  
Nekrasov L.Y.V<sub>2</sub>Zh. Fiz. Khim., 37 (10), 2347.Infrared absorption spectra  
of the products of a glow  
discharge in oxygen.C.A. 1964. 60.3(see. O<sub>3</sub>) III

1963

$N_2O_3$

Lonis R. V. St.

УК-спекр

Russ. Akad., 1963, 24, nr 5, 1855.

Удължение УК-спектров  
окислов азота и кислоро-  
да при низких темпера-  
турах.

1203

Louis K. V. St.

1863

Diss. Abstr., 24, 15, 1855

Изучение 24к-максимумов  
окислов азота в атмос-  
ферах при новых предпо-  
~~дположениях~~ предположениях.

(Inv N 02)

1965

332

611

БФР - 4296-III

$N_2O_3$   
Микроволн. спектр

2  $N$ -ор  
Краусс.  
Чест.  
Мешков  
Ильин.

б Д336. Микроволновый спектр азотистого ангидрида. Кисzkowski Robert L. The microwave spectrum of dinitrogen trioxide. «J. Amer. Chem. Soc.», 1965, 87, № 22, 5259—5260 (англ.)

При низких т-ре и давлении исследован микроволн. спектр четырех изотопич. образцов молекулы  $N_2O_3$ . Эксперим. значения частот линий находятся в удовлетворительном соответствии с теоретич. расчетами. Определены вращательные константы и моменты инерции. Подтверждена плоская структура молекулы. Найдена длина  $N-N$ -связи:  $1,85 \pm 0,03$  Å.

4 • 1966. 68

Физ. 10

539.293

Aven M., Mead C. A.

Electrical transport and contact properties of low resistivity  
*n*-type zinc sulfide crystals.

Appl. Phys. Letters, 1965, 7, N 1, 8—10.

Прохождение тока и свойства контакта низкоомных кри-  
сталлов ZnS *n*-типа. Библиогр. 13 назв.

*N<sub>2</sub>O<sub>3</sub>*

1965

332

*M. b. Cullen*

The microwave spectrum of dinitrogen trioxide. Robert J. Kuczkowski (Natl. Bur. of Stds., Washington, D.C.). *J. Am. Chem. Soc.* 87(22), 5259-60(1965)(Eng). The microwave spectrum of N<sub>2</sub>O<sub>3</sub> was obtained. Equal pressures of NO were mixed at -78° to a total pressure of 0.1 mm.; N<sub>2</sub>O<sub>3</sub> was ~0.1-1% of the total mixt. The mol. is planar or very nearly planar with C<sub>2</sub> symmetry and 2 nonequiv. N atoms sepd. by 1.85 ± 0.03 Å. The NO bond lengths and angles are similar to those found in other mols. The rotational consts. (Mc.) and moments of inertia (at. mass units Å<sup>2</sup>) are:

	O <sup>14</sup> N <sup>14</sup> NO <sub>2</sub>	O <sup>18</sup> N <sup>14</sup> NO <sub>2</sub>	O <sup>14</sup> N <sup>18</sup> NO <sub>2</sub>	O <sup>18</sup> N <sup>18</sup> NO <sub>2</sub>
A	12.453	12.296	12.458	12.295
B	4226.49	4186.29	4213.00	4172.49
C	3152.96	3120.37	3145.49	2113.77
I <sub>a</sub>	40.60	41.11	40.58	41.12
I <sub>b</sub>	119.6101	120.7587	119.0931	121.1581
I <sub>c</sub>	160.3354	162.0100	160.7161	162.4055

Milton Landy

C.A. 1966. 64.6

7549 fg

1392-4296-III

1884

N<sub>2</sub>O<sub>3</sub>

(U.K.  
Cliff)

109651t) Reexamination of the infrared spectrum of dinitrogen trioxide. Walter A. Yeranos and Michael J. Joncich (Northern Illinois Univ., DeKalb). *Mol. Phys.* 13(3), 263-68(1967) (Eng). By assuming a planar geometry of C<sub>2</sub> symmetry and by using a Urey-Bradley potential field, the force consts. of N<sub>2</sub>O<sub>3</sub> were redetd. within the formalism of Wilson's G-F matrix method. The results suggest a new set of force consts., some of which are drastically different than those previously reported. Furthermore, since the ir frequencies used in the present investigation were obtained both in the solid state and at low temps., the mean amplitudes of thermal vibrations of both <sup>14</sup>N<sub>2</sub>O<sub>3</sub> and <sup>15</sup>N<sub>2</sub>O<sub>3</sub> are given at 77°K. Finally, it is suggested that more isotropic ir data are necessary to ascertain unequivocally the geometry of N<sub>2</sub>O<sub>3</sub>. V. N. Krishnamurthy

C.A. 1968 · 68 · 24

*N<sub>2</sub>O<sub>3</sub>*

*Б91-XIII-972*

*1984*

8 Д155. Новое исследование ИК-спектра N<sub>2</sub>O<sub>3</sub>. Yeranos Walter A., Joncich Michael J. Age — examination of the I. R. spectrum of dinitrogen trioxide. «Molec. Phys.», 1967, 13, № 3, 263—268 (англ.)

Для плоской модели молекулы N<sub>2</sub>O<sub>3</sub> (симметрия C<sub>s</sub>) и силового поля Юри — Брэдли с помощью метода F — G-матриц Вильсона определены силовые постоянные. Найденные значения силовых постоянных отличаются от ранее известных примерно на 50%. Вычислены также амплитуды тепловых колебаний <sup>14</sup>N<sub>2</sub>O<sub>3</sub> и <sup>15</sup>N<sub>2</sub>O<sub>3</sub> при 77° К.

А. И. О.

*оо. 1988 . 8A*

N<sub>2</sub>O<sub>3</sub>

89-XII-972

1967

1) 15 Б176. Повторное исследование инфракрасного спектра N<sub>2</sub>O<sub>3</sub>. Уегано S., Walter A., Joncich Michael J. A re-examination of the I. R. spectrum of di-nitrogen trioxide. «Molec. Phys.», 1967, 13, № 3, 263—268 (англ.).

С помощью литературных данных по частотам основных колебаний и структурным параметрам вычислены силовые коэф. поля Юри—Бредли молекулы N<sub>2</sub>O<sub>3</sub>. Найденная система силовых коэф. удовлетворительно воспроизводит частоты N<sub>2</sub><sup>15</sup>O<sub>3</sub><sup>16</sup>. Вычислены также среднеквадратич. амплитуды колебаний N<sub>2</sub><sup>14</sup>O<sub>3</sub><sup>16</sup> и N<sub>2</sub><sup>15</sup>O<sub>3</sub><sup>16</sup> при т-ре 77° К.

М. Р. Алиев

X. 1968. 15

N<sub>2</sub>O<sub>3</sub>

XIII-1579

1968

14 Б278. Структура трехокиси азота. Andersson L. O. Mason Joan. The structure of dinitrogen trioxide. «Chem. Commun.», 1968, № 2, 99—101 (англ.)

С помощью метода ЯМР N<sup>14</sup> показано, что трехокись азота N<sub>2</sub>O<sub>3</sub> имеет нитрозо-нитроструктуру ON—NO<sub>2</sub>. Спектры ЯМР N<sup>14</sup> жидкой N<sub>2</sub>O<sub>3</sub> снимали на частоте 4 Мгц, хим. сдвиги измеряли в млн. д. относительно насыщенного водного р-ра иона NO<sup>-2</sup>. Спектр ЯМР N<sup>14</sup> чистой жидкой N<sub>2</sub>O<sub>3</sub> (при избытке NO) при т-ре —50° состоял из двух линий с хим. сдвигами +165 и —70 млн. д., приписываемых соответственно атомам азота в нитро- и нитрозогруппах. В спектре образца, приготовленного из эквимолярных количеств NO и NO<sub>2</sub>, по-

Структура

2.1968

14

является сигнал  $N_2O_4$  с хим. сдвигом +243 млн. д. При возрастании отношения  $NO_2/NO$  растет интенсивность сигнала  $N_2O_4$  за счет интенсивности сигнала  $N_2O_3$ . В спектре чистого  $N_2O_4$  наблюдается одна линия с хим. сдвигом +243 млн. д. Обсуждаются причины большого сдвига линии азота нитрозогруппы в слабое поле и причины уширения линий в спектрах.

Я. Г. Урман

$\text{NaO}_3$

Alan H. Brittain

Peter Cox.

Robert L. Rueczkowski

1969

644

M. b. cn. /  
cm<sup>-1</sup> cm<sup>-1</sup>

Whipple

"microwave Spectrum,  
Structure, Low Frequency  
Vibrations, Dipole Moment and  
Quadrupole Coupling Constants..

ВР-XIII-77

1969

№ 03  
8 Б324. Микроволновый спектр, структура, низкочастотные колебания, дипольный момент и константы квадрупольного взаимодействия трехокиси азота.  
Brittain Alan H., Cox A. Peter, Kuczkowski Robert L. Microwave spectrum, structure, low frequency vibrations, dipole moment and quadrupole coupling constants of dinitrogen trioxide. «Trans. Faraday Soc.», 1969, 65, № 8, 1963—1974 (англ.)

Изучен МВ-спектр семи изотонич. разновидностей молекулы  $N_2O_3$ :  $(ON^{14}-N^{14}O_2)$  (I),  $ON^{15}-N^{14}O_2$  (II),  $ON^{14}-N^{15}O_2$  (III),  $ON^{15}-N^{15}O_2$  (IV),  $ON-NO^{18}O$  (V) (атом  $O^{18}$  в положении 4)  $ON-NOO^{18}$  (VI) (атом  $O^{18}$  в положении 5) и  $O^{18}N-NO_2$  (VII)) в области 14660—39090 Мгц. ( $I \leq J \leq 6$ ). В МВ-спектре II наблюдалось сверхтонкое расщепление, позволившее определить кон-

ио. и. пр. па

иц. в.

ли

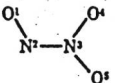
Х. 1970.

8

станты сверхтонкого взаимодействия для атома  $N^{15}$  в группе NO:  $X_{aa} = -2,34 \pm 0,05$ ,  $X_{bb} = 1,12 \pm 0,33$ ,  $X_{cc} = -1,22 \pm 0,34$  Мгц. Определены компоненты  $\mu_a = 2,052 \pm 0,007$ ,  $\mu_b = 0,541 \pm 0,007 D$  и полный дипольный момент  $\mu = 2,122 \pm 0,010 D$ . Установлено, что  $\mu$  имеет наклон  $9,1^\circ$  к связи N—N. Приведены значения вращательных постоянных I—VII в основном колебательном состоянии: для I  $A = 12453,70$ ,  $B = 4226,48$ ,  $C = 3153,03$ , для II  $A = -12294,06$ ,  $B = 4186,36$ ,  $C = 3120,44$ , для III  $A = 12455,24$ ,  $B = 4213,07$ ,  $C = 3145,55$ , для IV  $A = 12295,0$ ,  $B = 4172,54$ ,  $C = 3112,81$ , для V  $A = 11631,2$ ,  $B = 4201,86$ ,  $C = 3084,05$ , для VI  $A = 12151,8$ ,  $B = 4059,29$ ,  $C = 3040,46$ , для VII  $A = -12445,5$ ,  $B = 4015,54$ ,  $C = 3033,52$  Мгц (минимальные ошибки в значениях постоянных  $A$ ,  $B$ ,  $C$  составляют  $\pm 0,03$ , а максимальные —  $\pm 1,6$  Мгц). Для I наблюдался ряд вращательных переходов ( $2 < J < 5$ ) в возбужденных колебательных состояниях  $v_7 = 253$ ,  $v_8 = 313$  см $^{-1}$ , а также в состояниях  $v_9$  и  $2v_9$ . Частота крут. кол.  $v_9 = -124 \pm 25$  см $^{-1}$ . В приближении гармонич. осциллятора определено значение барьера заторможенного внутреннего вращения  $34 \pm 13$  кдж/моль. Методом Крейчмена-Костейна определены геометрич. параметры молекулы  $N_2O_3$ :  $O^1—N^2—N^3—O^4(—O^5)$ ,  $r(N_2N_3) = 1,864 \pm 0,007$ ,  $r(N_2—O_1) = 1,142 \pm 0,004$ ,  $r(N_3O_4) = 1,202 \pm 0,006$ ,  $r(N_3O_5) = 1,217 \pm 0,007$  Å,  $\angle O_1N_2N_3 = 105,05 \pm 0,12^\circ$ ,  $\angle O_4N_3N_2 = 112,72 \pm 0,68^\circ$ ,  $\angle O_5N_3N_2 = 117,47 \pm 0,42^\circ$ . Полученные геометрич. данные сопоставлены с данными для родственных молекул и обсуждены с точки зрения природы хим. связи в молекуле  $N_2O_3$ . А. Александров

*N<sub>2</sub>O<sub>3</sub>*

(75957b) Microwave spectrum structure, low frequency vibrations, dipole moment, and quadrupole coupling constants of dinitrogen trioxide. Brittain, Alan H.; Cox, A. Peter; Kuczkowski, Robert L. (Univ. Bristol, Bristol, Engl.). *Trans. Faraday Soc.* 1969, 65(8), 1963-74 (Eng). The structure of N<sub>2</sub>O<sub>3</sub> has been detd. from the microwave spectrum of 7 isotopic species. The detailed structure assocd. with the following planar



configuration is:  $d(N_1N_2) = 1.864$ ;  $d(N_2O_1) = 1.142$ ;  $d(N_2O_4) = 1.202$ ;  $d(N_2O_5) = 1.217 \text{ \AA}$ ; angle O<sub>1</sub>N<sub>2</sub>N<sub>2</sub> = 105.1°; O<sub>4</sub>N<sub>2</sub>N<sub>2</sub> = 112.7°; O<sub>5</sub>N<sub>2</sub>N<sub>2</sub> = 117.5°. The torsional vibrational frequency has been measured as  $124 \pm 25 \text{ cm}^{-1}$ . The quadrupole coupling consts. for the nitrosyl N are  $\chi_{aa} = -2.34$ ,  $\chi_{bb} = 1.12$ , and  $\chi_{cc} = 1.22 \text{ MHz}$ . The dipole moment has been detd. as  $|\mu_a| = 2.05$ ;  $|\mu_b| = 0.54$ ; and  $|\mu_c| = 2.12 \text{ D}$ . inclined at an angle of 9.1° to the N-N bond. On the basis of these data, the bonding is discussed.

RCTD

C. A. 1969. 49. 16

Hochanadel C.J., Chormley J.A., 1969  
Ogren P.J.

Environ

J. Chem. Phys., 1969, 50, 3075

3

$N_2O_3$  (gas)

M.N.

$N_2O_5$  (gas)

Julg A., Ozices Y.

Eruob

Rev. Chim. Miner., 1969, 6, 201

14

$N_2O_3$  (gas)

$N_2O_5$  (gas)

M. T.

N<sub>2</sub>O<sub>3</sub>

спектр в  
матрице

ДЛ,

чел.

ср.

БГ - XII - 1958

1971

16 Б249. Изомерные модификации окиси азота N<sub>2</sub>O<sub>3</sub> в азотной матрице. Varetti Eduardo L., Pimentel George C. Isomeric forms of dinitrogen trioxide in a nitrogen matrix. «J. Chem. Phys.», 1971, 55, № 8, 3813—3821 (англ.)

Измерены спектры поглощения в ближней УФ-, видимой и ИК-областях N<sub>2</sub>O<sub>3</sub> (I), матрично-изолированной в N<sub>2</sub>. Обнаружено, что ИК-спектр матрично-изолированной I полностью согласуется со спектром асимм. N<sub>2</sub>O<sub>3</sub>. При продолжительном облучении матрицы светом глобара происходит существенное изменение вида ИК-спектра,

МХ, 1972,

~6

приводящее к исчезновению старых полос и появлению новых 1689,7; 1661,0; 969,4; 704,3; 387,4 и 365,5 см<sup>-1</sup>. Отмеченная трансформация спектра связывается со структурной изомеризацией асимм. I в симм. I: O=N—O—N=O. Установлен интервал длин волн (7000—9000 Å) облучающего света, способного инициировать изомеризацию. Обнаружена обратимость этого процесса при облучении матрицы УФ-светом 3700—4800 Å. Относит. стабильность асимм. I по сравнению с симм. оценена в +5±10 ккал/моль.

Г. Кузьянц

*N<sub>2</sub>O<sub>3</sub>*

*Vi*

*Marpus agt*

*Hill*

*BP*

145700m Isomeric forms of dinitrogen trioxide in a nitrogen matrix. Varetti, Eduardo L.; Pimentel, George C. (Chem. Dep., Univ. California, Berkeley, Calif.). *J. Chem. Phys.* 1971, 55(8), 3813-21 (Eng). When N<sub>2</sub>O<sub>3</sub> is formed in a N matrix, it displays a vibrational spectrum very similar to that of the gas-phase, asym. mol. (*asym-N<sub>2</sub>O<sub>3</sub>*). On near-ir irradn. at 20°K, however, this structure is converted into an isomeric form with absorptions at 1689.7, 1661.0, 969.4, 704.3, 387.4, and 365.5 cm<sup>-1</sup>. Both <sup>15</sup>N and <sup>18</sup>O labeling show that this isomer (*sym-N<sub>2</sub>O<sub>3</sub>*) has conventional, nitrite-like bonding and an extended, symmetric configuration, O:N-O-N:O. The spectral region responsible for the matrix-photolytic conversion of *asym-N<sub>2</sub>O<sub>3</sub>* into *sym-N<sub>2</sub>O<sub>2</sub>* is 7000-9000 Å; a region in which *asym-N<sub>2</sub>O<sub>3</sub>* absorbs (max., near 7200 Å). The *sym-N<sub>2</sub>O<sub>3</sub>* can be converted quant. back into *asym-N<sub>2</sub>O<sub>3</sub>* through irradn. in the uv region, 3700-4800 Å. Ultraviolet absorption features at 3630, 3810, and 3980 Å appear in the spectra of matrix samples during ir-photolytic production of *sym-N<sub>2</sub>O<sub>3</sub>*. These features disappear during the uv conversion of *sym-N<sub>2</sub>O<sub>3</sub>* back into *asym-N<sub>2</sub>O<sub>3</sub>*, so they are assigned to *sym-N<sub>2</sub>O<sub>3</sub>*; they must account for this uv photolytic process. Through bond energy arguments, the symmetric nitrite-like structure of *sym-N<sub>2</sub>O<sub>3</sub>* is judged to be no more than 5 ± 10 kcal less stable than the asymmetric form.

*C.H. 1971. 45*

*84*

N<sub>2</sub>O<sub>3</sub>

1882

L146918w Dinitrogen trioxide. XI. Electronic spectrum of dinitrogen trioxide. Shaw, A. W.; Vosper, A. J. (South Wilts Grammar Sch. Girls, Salisbury, Engl.). *J. Chem. Soc., Dalton Trans.* 1972, (8/9), 961-4 (Eng). The visible spectrum of N<sub>2</sub>O<sub>3</sub> was detd. in 15 solvents, e.g. CCl<sub>4</sub>, Et<sub>2</sub>O, PhMe, and PhOMe. In all cases an absorption max. was obsd. in the red region of the spectrum. Values for  $\epsilon_{\text{max.}}$  were 95-120 mole<sup>-1</sup>dm<sup>3</sup> except in aromatic solvents when the values were higher (150-275 mole<sup>-1</sup>dm<sup>3</sup>) and were correlated with the electron-releasing properties of the solvent. The near-uv spectrum of gaseous N<sub>2</sub>O<sub>3</sub> and its solns. in n-hexane and H<sub>2</sub>O were reported.

Y09 - CLKP

C. A. 1982. 76. 24

$N_2O_3$

B92-XII-2646

1973

50086p Nitrogen quadrupole hyperfine splitting in the microwave spectrum of dinitrogen trioxide. Cox, A. Peter; Finnigan, David J. (Dep. Phys. Chem., Univ. Bristol, Bristol, Engl.). *J. Chem. Soc., Faraday Trans. 2* 1973, 69(1), 49-55 (Eng). Anal. of N quadrupole splittings, due to single and double N coupling, in the microwave spectra of  $N_2O_3$ ,  $O^{16}NNO_2$ , and  $ON^{15}NO_2$ , gave coupling consts. at both N nuclei. Values for  $\chi_{aa}$  ( $NO_2$ ) and

( $\mu, \nu, \gamma$ )

C.A.1973, 78-N8

$\chi_{aa}$  (NO) were -2.0 and -1.9 MHz, resp., where  $\chi_{aa}$  is a diagonal element of the quadrupole coupling tensor in the principal inertial axis system of the mol. The consts. were interpreted in terms of the coupling found in NO and  $\text{NO}_2$  perturbed by the weak N-N bond. This description satisfactorily accounted for the unusual structure and the value of the dipole moment in  $\text{N}_2\text{O}_3$ .

*N<sub>2</sub>O<sub>3</sub>*

14 Б270. Сверхтонкое квадрупольное расщепление по азоту в микроволновом спектре азотистого ангидрида. Cox A. Peter, Finnigan David J. Nitrogen quadrupole hyperfine splitting in the microwave spectrum of dinitrogen trioxide. «J. Chem. Soc. Faraday Trans.», 1973, Part 2, 69, № 1, 49—55 (англ.)

1973

Изучено сверхтонкое квадрупольное расщепление в МВ-вращательных спектрах  $\text{N}_2\text{O}_3$ ,  $\text{ON}^{15}\text{NO}_2$  и  $\text{ONN}^{15}\text{O}_2$  в области  $\sim 21\ 920$ — $38\ 068$  МГц ( $2 \leq J \leq 6$ ). Определены величины постоянных квадрупольного взаимодействия на обоих ядрах N:  $\chi_{aa}$  ( $\text{NO}_2$ ) =  $-2,0 \pm 0,1$  и  $\chi_{aa}$  ( $\text{NO}$ ) =  $-1,9 \pm 0,1$  МГц. Константы квадрупольного взаимодействия интерпретированы с использованием приближения Тауса-Дейли на основе рассмотрения квадрупольного взаимодействия в NO и  $\text{NO}_2$ , возмущенного слабой связью N—N.

По резюме

29/6

B9 - X11

B9 - X11

x. 1973 N 14

$N_2O_4$ ,  $\underline{N_2O_3}$  (i) VIII.282b 1973

Bibart C.H.,

Diss. Abst. Int. B, 1974, 34,  
(12), 5925.

Vibrational spectroscopy of  
gaseous dinitrogen tetroxide  
and dinitrogen trioxide.

C.A. 1974, 81 n16 . 97262v 10 ⓐ

41014.8785  
Ch, Ph, TC

$N_2O_4$  ( $N_2O_3$ )<sub>2</sub> из

1974

$N_2O_3$  (струйный)

XIII 2798

Bibart Charles H., Ewing George E.

vibrational spectrum, torsional potential, and bonding of gaseous  $N_2O_4$ .

"J. Chem. Phys.", 1974, 61, N 4, 1294-1292

(англ.)

№ 0211 ник

183 184

ВИНИТИ

Финиш 2542

1974

N<sub>2</sub>O<sub>3</sub>

1Д415. Колебательный спектр газообразного N<sub>2</sub>O<sub>3</sub>.  
Bibart Charles H., Ewing George E. Vibrational spectrum of gaseous N<sub>2</sub>O<sub>3</sub>. «J. Chem. Phys.», 1974, 61, № 4, 1293—1299 (англ.)

Получены ИК-спектры поглощения газовой смеси NO—NO<sub>2</sub>, в которых выделены полосы, принадлежащие комплексу N<sub>2</sub>O<sub>3</sub>. Определены оптимальные условия для наблюдения этого комплекса, соответствующие т-ре 220° К. Спектры изучены в слоях 6 см для сильных полос и 3—12 м для слабых. Отнесение полос к определенным колебаниям N<sub>2</sub>O<sub>3</sub> выполнено с использованием формы неразрешенных контуров. Для ряда полос наблюдана структура, образованная Q-ветвями крутильных переходов, комбинирующих с другими колебаниями комплекса. По этой структуре установлена частота крутильного колебания, равная 63 см<sup>-1</sup>, эта частота соответствует барьеру для внутреннего вращения  $V_2 = 1$  ккал/моль. Библ. 23.

М. В. Тонков

ф. 1975 № 1

1974

N<sub>2</sub>O<sub>3</sub>omnucer 2542(J<sub>i</sub>; V<sub>0</sub>)

129430s Vibrational spectrum of gaseous dinitrogen trioxide.  
Bibart, Charles H.; Ewing, George E. (Dep. Chem., Indiana  
Univ., Bloomington, Indiana). *J. Chem. Phys.* 1974, 61(4),  
1293-9 (Eng). Gaseous N<sub>2</sub>O<sub>3</sub> was prepd. by the equil. reaction  
of NO with NO<sub>2</sub>. By careful selection of the temp. and pressure  
the relative concn. of N<sub>2</sub>O<sub>3</sub> was high and its ir-spectrum was ob-

C.A. 1974. 81. N2O

tained without interference from other nitrogen oxide absorptions. The spectrum reveals new features previously unreported including sequence bands containing torsional vibrations. This work, together with other far ir studies, provides an assignment of all the  $N_2O_3$  vibrational frequencies. An est. of the internal rotation potential function indicates a barrier height of the order of 1 kcal/mole.

данные 2542 1974

$N_2O_3$

5 Б275. Колебательный спектр газообразного  $N_2O_3$ .  
Bibart Charles H., Ewing George E. Vibrational spectrum of gaseous  $N_2O_3$ . «J. Chem. Phys.», 1974, 61, № 4, 1293—1299 (англ.)

Исследован ИК-спектр  $N_2O_3$  в газ. состоянии в криогенных кюветах с длиной пути от 6 см до 30 м.  $N_2O_3$  получен газофазной низкот-рной р-цией  $NO_2$  и  $NO$  в избытке последнего. Предложено новое, более полное отнесение основных колебаний  $N_2O_3$ . В области  $470\text{ см}^{-1}$  обнаружена новая последовательность составных полос, из анализа к-рой найдена частота крутильного колебания  $N_2O_3 \sim 70\text{ см}^{-1}$ . Оценен барьер внутреннего вращения  $N_2O_3$  — 1 ккал/моль, к-рый в 2—3 раза меньше барьера для  $N_2O_4$ .

Я. М. Кимельфельд

Х. 1875 № 5

1974

N<sub>2</sub> O<sub>3</sub>

Бюллетень по научно-исследовательской работе ИВТАИ, отрасль №8

"Природоохранительные св-ва атома, "Богородца и их созданий"

и.н.

2492. Исследование ИК-спектра асимметричной  
формы  $N_2O_3$ . Bradley Guy Martin, Siddall  
William, Strauss Herbert L., Varetti  
Eduardo L. Infrared studies of asymmetrical di-  
nitrogen trioxide. «J. Phys. Chem.», 1975, 79, № 18,  
1949—1953 (англ.)

Получен спектр ИК-поглощения жидкой  $N_2O_3$  при  
т-рах от  $-10$  до  $50^\circ C$  в области  $50$ — $400\text{ см}^{-1}$ . Наблю-  
денные в этой области полосы  $76$ ,  $160$  и  $260\text{ см}^{-1}$  отне-  
сены соответственно к крутильным колебаниям, ва-  
лентным колебаниям группы N—N и маятниковым ко-  
лебаниям нитрозогруппы. Выполнен расчет колебаний  
молекулы с различными приближениями силового поля  
для предложенной интерпретации и для случая отне-  
сения полосы  $260\text{ см}^{-1}$  к колебанию N—N. Все методы  
дают хорошие результаты при расчете частот. Вычис-  
ленные величины силовых постоянных близки к ана-  
логичным величинам для свободных молекул NO и  
 $NO_2$ . Дефекты моментов инерции, определенные по  
расчетанным силовым постоянным, во всех случаях  
плохо согласуются с опытными данными. Найденное  
по частотам значение энтропии хорошо согласуется с  
результатами термодинамич. измерений, которые недо-  
статочно точны, чтобы позволить выбрать правильное  
отнесение. Библ. 12.

М. В. Тонков

*N<sub>2</sub>O<sub>3</sub>*

*Б9-XIII-320.7*

*1975*

5 Б281. Исследование инфракрасных спектров ассиметричной трехокиси азота. Bradley Guy Martin, Siddall William, Strauss Herbert L., Varetti Eduardo L. Infrared studies of asymmetric dinitrogen trioxide. «J. Phys. Chem.», 1975, 79, № 18, 1949—1953 (англ.)

Измерен длинноволновый ИК-спектр жидк.  $\text{ONNO}_2$  в области  $400-50 \text{ см}^{-1}$  при т-рах от  $-50$  до  $-10^\circ$ . Полоса  $76 \text{ см}^{-1}$  отнесена к торсионному колебанию,  $160 \text{ см}^{-1}$  — вал. кол. N—N,  $260 \text{ см}^{-1}$  — маятн. кол. NO. Более высокие частоты близки к соотв-щим значениям в молекулах NO и  $\text{NO}_2$ . Частота  $624 \text{ см}^{-1}$  отнесена к неплоскому веерному колебанию NO. Вычислены силовые постоянные с 5 вариантами силового поля, причем во всех случаях были использованы частоты изо-

*m.g.p.*

*1/см.  
носн.*

*X 1976 N 5*

*(41)*



топозамещенных. Для сравнения полученных силовых полей введена качеств. мера их подобия с переводом всех результатов в общую декартову систему координат. Показано, что все 5 вариантов силового поля  $N_2O_3$  ближе друг к другу, чем все они к силовому полю  $NO_2$ . Неожиданным является тот факт, что лучшие варианты силовых полей, основанные на разных отнесениях вал. кол. N—N, ближе друг к другу, чем любая др. пара силовых полей. Вычислены термодинамич. функции.  $S_{298}^0 = 73,79$  э. е. в приближении гармонич. осциллятора на основе полученных данных и 74,24 — при использовании торсионного потенциала.

Е. Разумова

$N_2O_2$ ,  $\underline{N_2O_3}$ ,  $N_2O_4$  (v<sub>i</sub>) 1925  
MASON J., XIII 3110

J. Chem. Soc. Dalton Trans.,  
1925, pt, 15-22 (Aug 1)

The climeric nitrogen oxides. Part  
I. Electronic absorptions of the 5  
nitrogen oxide climers, and compari-  
son of observed and calculated  
values, 1925, 155106

№203

1977

14 Б43. Вычисление молекулярных орбиталей полуторной окиси азота,  $N_2O_3$ . Doonan Ian J., MacLagan Robert G. A. Molecular orbital calculations on dinitrogen trioxide,  $N_2O_3$ . «Austral. J. Chem.», 1977, 30, № 12, 2613—2619 (англ.)

Выполнен неэмпирический расчет электронного строения молекулы  $N_2O_3$  в миним. базисе ф-ций слайтеровского типа. При вычислении интегралов, к-рыми пре-небрегают в схеме ПДДП, использовалось приближение слайтеровских орбиталей тремя гауссовыми ф-циями (изучено также приближение двумя ф-циями, к-roe приводит к неверным результатам). Анализ полученных МО указывает на слабое  $\sigma$ -связывание  $N-N$ , отмечено также слабое притяжение между атомами O в цис-положении. Эти результаты согласуются с аномально длинной связью  $N-N$  (1,864 Å) в  $N_2O_3$ , а также с не-большим наклоном ( $2,4^\circ$ ) нитрогруппы в сторону нитрозильного фрагмента и уменьшенным (по сравнению с др. нитрозилами) углом при атоме азота группы NO. Выполнен расчет фрагментов NO и  $NO_2$  молекулы  $N_2O_3$  в том же базисе с геометрич. параметрами из  $N_2O_3$ . Маллигеновский анализ заселенностей показал, что образование  $N_2O_3$  сопровождается небольшим  $\sigma$ -переносом

расчет  
дискип.  
стрибели

jl

2, 1978, N 14

заряда ( $0,16 e$ ) от  $\text{NO}$  к  $\text{NO}_2$  и уменьшением заселенности перекрывания всех пар  $\text{N}-\text{O}$ . Молекулярные орбитали  $\text{N}_2\text{O}_3$  разложены по орбиталям  $\text{NO}$  и  $\text{NO}_2$  и построена корреляц. диаграмма уровней  $\text{NO}$ ,  $\text{NO}_2$  и  $\text{N}_2\text{O}_3$ . По методу Фостера — Бойса получены локализованные орбитали (ЛО)  $\text{N}_2\text{O}_3$ , для ЛО проведен маллинкеновский анализ заселенностей и найдены центры зарядовых распределений. Проведено сопоставление с ЛО ионов  $\text{NO}^\pm$  и  $\text{NO}_2^\pm$ . Вычисленный дипольный момент равен  $1,87 D$  (эксперим:  $2,12 D$ ). Выполнен также расчет методом КВ с учетом девяти дважды возбужденных конфигураций (возбуждение с трех верхних заполненных на три нижние вакантные орбитали). Существенный вклад в волновую ф-цию КВ вносят две возбужденные конфигурации, соответствующие переходам на  $\text{N}-\text{N}$  разрыхляющие орбитали, что приводит к отриц. ( $-0,012$ ) заселенности перекрывания  $\text{N}-\text{N}$  ( $0,11$  в одноконфигурац. приближении). Заселенность перекрывания  $\text{O}-\text{O}_{\text{dis}}$  при этом также уменьшается, но остается положительной.

М. М. Гофман

чль

1977

N<sub>2</sub>O<sub>3</sub>

88: 55241b Molecular orbital calculations on dinitrogen trioxide, N<sub>2</sub>O<sub>3</sub>. Doonan, Ian J.; Maclagan, Robert G. A. R. (Dep. Chem., Univ. Canterbury, Christchurch, N. Z.). *Aust. J. Chem.* 1977, 30(12), 2613-9 (Eng). A min. Slater basis set MO calcn. on dinitrogen trioxide, N<sub>2</sub>O<sub>3</sub>, is reported. In the evaluation of integrals, non-NDDO integrals were calcd. by the 3G/S expansion technique. Anal. of the wavefunction obtained shows weak bonding between the nitrosyl and nitro fragments and a very weak attractive interaction between the *cis*-oxygens. The MO's for N<sub>2</sub>O<sub>3</sub> were expanded in terms of the NO and NO<sub>2</sub> MO's. A correlation diagram linking the N<sub>2</sub>O<sub>3</sub> orbitals with the NO and NO<sub>2</sub> orbitals is presented. The localized MO's for N<sub>2</sub>O<sub>3</sub> are analyzed. A configuration interaction calen. involving the ground state and 9 doubly excited state configurations is reported. Two excited states have significant contributions. A comparison is made between the results obtained by using a 3G/S expansion and a calen. using a 2G/S expansion.

C.A. 1978, N8

1977

*N<sub>2</sub>O<sub>3</sub>*

ТД 198) Расчеты трехокиси азота, N<sub>2</sub>O<sub>3</sub>, методом молекулярных орбиталей. Doonan J. J., MacLagan Robert G. A. R. Molecular orbital calculations on dinitrogen trioxide, N<sub>2</sub>O<sub>3</sub>. «Austral. J. Chem.», 1977, 30, № 12, 2613—2619 (англ.)

Методом MO в миним. базисе слэтеровских ф-ций исследуется молекула N<sub>2</sub>O<sub>3</sub>. Интегралы вычисляются в приближении ПДДП с использованием аппроксимации слэтеровских ф-ций тремя гауссовыми. Коэф. разложения MO получают комбинацией итерационной процедуры Рутана и метода сопряженных градиентов. Расчет энергии основного состояния молекулы N<sub>2</sub>O<sub>3</sub> при экспериментально найденной геометрии дает —332,4827 ат. ед. Использование в качестве базисного набора слэтеровских ф-ций, аппроксимированных двумя гауссовыми ф-циями, приводит к качественно неверным результатам (меняются конфигурация основного состояния и порядок орбитальных уровней). Анализ

*исслед E*

(41) Есмбу!  
9.1948, NY

полученной волн. ф-ции показывает, что существует слабое связывание между фрагментами NO и NO<sub>2</sub> и очень слабое притяжение между атомами кислорода в цисположении. Рассматривается корреляционная диаграмма, связывающая орбитали N<sub>2</sub>O<sub>3</sub> с орбиталями NO и NO<sub>2</sub>. Расчет методом конфигурац. взаимодействия с учетом девяти дважды возбужденных конфигураций понижает энергию основного состояния до -332,6004 ат. ед. Обсуждается влияние возбужденных конфигураций на волн. ф-цию.

Ю. Г. Абашкин

$N_2O_3$

annua 6087

1978.

Kishner S., et al.

Described elgy,  
M. elgy,  
Geococcyx  
mexicanus

J. Amer. Oceans. Soc.  
1978, 100(5)  
1385-71

Feas.  $N_2O_2$ ;  $\frac{1}{2}$ )

1978

*N<sub>2</sub>O<sub>3</sub>**HONO**y. & cnewsp*

88: 112855f The near ultraviolet absorption spectrum of gaseous nitrous acid and nitrogen(III) oxide. Stockwell, William R.; Calvert, Jack G. (Chem. Dep., Ohio State Univ., Columbus, Ohio). *J. Photochem.* 1978, 8(3), 193-203 (Eng). New measurements of the absorption cross sections for N<sub>2</sub>O<sub>3</sub> and HONO vapors were made at 300-400 nm. The N<sub>2</sub>O<sub>3</sub> data were derived from the obsd. spectra of equil. mixts. of N<sub>2</sub>O<sub>3</sub> with NO, NO<sub>2</sub> and N<sub>2</sub>O<sub>4</sub>. HONO data were derived from its equil. mixts. with NO, NO<sub>2</sub>, N<sub>2</sub>O<sub>3</sub> and N<sub>2</sub>O<sub>4</sub>. Correction for the absorptions of NO<sub>2</sub> and N<sub>2</sub>O in the 1st mixts. and NO<sub>2</sub>, N<sub>2</sub>O<sub>4</sub> and N<sub>2</sub>O<sub>3</sub> in the 2nd mixts. were made by using the measured initial compns. together with equil. and NO<sub>2</sub>, N<sub>2</sub>O<sub>4</sub> and N<sub>2</sub>O<sub>3</sub> absorption cross

(+) 

C.A. 1978, 88, 1116

section data. The measured cross sections for HONO(g) are significantly greater than those reported from similar expts. by H. S. Johnston and R. Graham (1974) and are somewhat smaller than those recently published by R. A. Cox and R. G. Derwent (1976, 1977). The new data are consistent with relative rate measurements for the photochem. reactions  $\text{HONO} + h\nu \rightarrow \text{HO} + \text{NO}$  and  $\text{NO}_2 + h\nu \rightarrow \text{O} + \text{NO}$  studied in a simulated-sunlight-irradiated reaction chamber at low reactant concns. The 1st order rate consts. for the 1st of these reactions in the lower atm. are estd. as 0.089, 0.088, 0.086, 0.083, 0.077, 0.068, 0.054, 0.035, 0.017 and  $0.0044 \text{ min}^{-1}$  for sea level and no ground reflectivity with solar zenith angles of 0, 10, 20, 30, 40, 50, 60, 70, 78, and  $86^\circ$ , resp.

enrreca 8159

1049

$N_2O_3$

91: 65390a A normal coordinate analysis for sym-nitrogen oxide ( $N_2O_3$ ). Varetti, E. L. (Fac. Cienc. Exactas, Univ. Nac. La Plata, 1900 La Plata, Argent.). *J. Mol. Struct.* 1979, 53(2), 275-80 (Eng). A mol. configuration of  $C_{2v}$  symmetry is proposed for sym- $N_2O_3$  ( $O:N-O-N:O$ ) isolated in a  $N_2$  matrix. The measured IR frequencies for the normal and  $^{15}N$ -substituted mol. are used in a normal coordinate calcn. from which the form of the normal modes of vibration as well as the corresponding force consts. are derived.

Ref. codes

XIII- 5509

C4.1949.G118

Симм- $N_2O_3$

Библия 8159

1979

19 Б223. Расчет нормальных колебаний симм- $N_2O_3$ .  
Varetti E. L. A normal coordinate analysis for sym  
 $N_2O_3$ . «J. Mol. Struct.», 1979, 53, № 2, 275—280 (англ.)

Проведен расчет нормальных колебаний для плоских координат симм- $N_2O_3$  ( $O=N-O-N=O$ ) (I), используя эксперим. данные по ИК-спектрам I и его  $^{15}N$ -аналога в матрице азота при низких т-рах в области 2000—250  $\text{см}^{-1}$ . Угол между направлениями  $O=N$ -связей, определенный из соотношения интенсивностей полос вал. кол.  $O=N$ -связей согласуется с плоской конфигурацией молекулы, имеющей симметрию  $C_{2v}$ . Расчет плоских нормальных колебаний молекулы I также подтверждает правильность выбранной конфигурации. Определены формы нормальных колебаний и силовые постоянные I. Полученные силовые постоянные сопо-

XIII - 5509

Х. 1979, N19

ставлены с соотв-щими данными для родственных мо-  
лекул HONO, ClONO.  
10.Б994

Е. Б. Назарова

zzz

$N_2O_3$

Lammerzahl 106241 1980.

Yug K., et al.

Molecular  
concepts  
(y)

KB, etc.  
-process

Theor. chim. acta,  
1980, 54, 107 - 130

1980

*N<sub>2</sub>O<sub>3</sub>*

94: 163055b Molecular constants of symmetric dinitrogen trioxide. Natarajan, A.; Rajendran, S. (Dep. Phys., Autonomous P. G. Cent., Tiruchirappalli, 620020 India). *Acta Cienc. Indica, Ser. J Phys.* 1980, 6(2), 31-5 (Eng). The potential energy consts. of sym. N<sub>2</sub>O<sub>3</sub> were evaluated on the basis of the general valence force field. Mean square amplitudes of vibration, generalized mean square amplitudes of vibration, Coriolis coupling consts., shrinkage consts., and rotation distortion consts. were also computed. The thermodyn. properties of this mol. were calcd. for the ideal gaseous state at 1 atm. pressure for 11 temps., 100-1000°K., by using a rigid rotor harmonic oscillator approxn.

*Clad. No. C.F.  
M, N.**M.G. Q-Yield**D*(41) Fig. 9. N<sub>2</sub>O<sub>3</sub>)*C.A. 1981.94 v.20*

*NO - NO<sub>2</sub>*

*1982*

5 Д349. Измерение постоянных квадрупольной связи ядер азота в комплексе ON—NO<sub>2</sub> с использованием спектрометра с импульсным молекулярным пучком Флайгера — Балла. Nitrogen quadrupole coupling measurements on ON—NO<sub>2</sub> using the Flygare—Balle pulsed-beam spectrometer. Kukolich Stephen G. «J. Amer. Chem. Soc.», 1982, 104, № 25, 6927—6929 (англ.)

С помощью микроволн. фурье-спектрометра с импульсной сверхзвуковой молекулярной струей измерен микроволни. спектр диамагн. комплекса NO—NO<sub>2</sub>, состоящего из парамагн. молекул NO и NO<sub>2</sub> (на используемом спектрометре измеряются сигналы тушения свободной индукции газа). Идентифицирована сверхтонкая структура 6 вращательных переходов с  $J < 4$  основного колебательного состояния. Определены значения постоянных квадрупольной связи обоих ядер азота. Полученные значения этих постоянных  $eQq_{aa} = -1,7766$ ,  $eQq_{bb} = 0,0585$  МГц для NO и  $eQq_{aa} = -0,5260$ ,  $eQq_{bb} = -4,1941$  МГц для NO<sub>2</sub> значительно отличаются от их значений для свободных молекул NO и NO<sub>2</sub>.

М. Р. Алиев

*90. 1983, 18,  
N5*

*ON-NO<sub>2</sub>*

*1982*

9 Б281. Измерения квадрупольного взаимодействия азота в ON-NO<sub>2</sub> с помощью спектрометра импульсного пучка Флайгера—Болле. Nitrogen quadrupole coupling measurements on ON-NO<sub>2</sub> using the Flygare-Balle pulsed-beam spectrometer. Kukolich Stephen G. «J. Amer. Chem. Soc.», 1982, 104, № 25, 6927—6929 (англ.)

С помощью МВ фурье-спектрометра исследована СТС переходов  $1_{01}$ — $0_{00}$ ,  $2_{12}$ — $1_{11}$ ,  $2_{02}$ — $1_{01}$ ,  $2_{11}$ — $1_{10}$ ,  $3_{12}$ — $3_{13}$ ,  $4_{13}$ — $4_{14}$  комплекса ON-NO<sub>2</sub> в импульсном пучке (центры переходов соотв. при 7379,541; 13685,411; 14660,6; 15832,551; 6435,669; 10695,832 МГц). Получены следующие значения вращательных постоянных и постоянных квадрупольного взаимодействия (в МГц):  $A = 12412 \pm 22$ ,  $B = 4226,530 \pm 0,012$ ,  $C = 3152,966 \pm 0,012$ ; NO-группа —  $eQq_{aa} = -1,7766 \pm 0,0037$ ,  $eQq_{bb} = 0,0585 \pm 0,0021$ ; NO<sub>2</sub> группа —  $eQq_{aa} = -0,5260 \pm 0,0035$ ,  $eQq_{bb} = -4,1941 \pm 0,0018$ . Отмечается, что найденные параметры квадрупольного взаимодействия значительно отличаются от соотв.-щих значений для свободных молекул NO и NO<sub>2</sub>.

В. М. Ковба

*М.Н.*

*X. 1983, 19,  
N 9*

*Nd<sub>3</sub>*

Он. 16571 1983

10 Д472. Спектры ИК-поглощения окислов азота в жидким ксеноне. Изомеризация N<sub>2</sub>O<sub>3</sub>. Infrared absorption spectra of nitrogen oxides in liquid xenon. Isomerization of N<sub>2</sub>O<sub>3</sub>. Holland R. F., Maier William B., II. «J. Chem. Phys.», 1983, 78, № 6, Pt 1, 2928—2941 (англ.)

Изучены ИК-спектры (3900—240 см<sup>-1</sup>) окислов азота, растворенных в жидким ксеноне при т-ре 160—220 К. Проведен колебательный анализ спектров окислов азота в жидким Хе и сопоставление их со спектрами этих окислов в газовой фазе. Идентифицированы полосы колебаний молекул NO, NO<sub>2</sub>, (NO)<sub>2</sub>, N<sub>2</sub>O<sub>4</sub> и N<sub>2</sub>O<sub>3</sub>. Определены интегр. величины сечений поглощения молекул в жидким Хе. Предположено, что сим. и асим. конформации молекул N<sub>2</sub>O<sub>3</sub> в жидким Хе находятся в динамич. равновесии, причем разность энергии этих изомеров не превышает 1,8±0,2 ккал/моль. По-

*спектр, VI,  
ДН;*

*98.1983, 18, N10*

казано, что молекулы  $(NO)_2$  образуют цис- и транс-конформеры в жидком Хе. Сделан вывод, что сложная структура ИК-полос молекул  $N_2O_4$  в жидком Хе обусловлена наложением полос фундаментальных и составных колебаний, взаимодействующих по механизму резонанса Ферми. Библ. 38.

И. В. А.

ride

*N<sub>2</sub>O<sub>3</sub>*

*1983*

23 Б1035. Теоретический анализ относительной стабильности изомерных форм трехокиси азота. Estudio teórico sobre la estabilidad relativa de las formas isoméricas del trióxido de nitrógeno. J u b e r t A. H., V a -  
r e t t i E. L. «3er Congr. argent. fisicoquím. 3ra Reun. argent. fisicoquím. org., La Plata, 19—23 sept., 1983». La Plata, 1983, 193 (исп.)

Неэмпирическим методом МО ЛКАО ССП выполнены расчеты различных конформеров  $N_2O_3$ . Использованы базисные наборы ОСТ-ЗГФ, 4-31ГФ и 6-31ГФ. Найдено, что цис-форма на 4,31 ккал/моль более стабильна, чем транс-форма. Барьер перехода оценен в 7,12 ккал/моль. Разность между несимм. (симметрия  $C_s$ ) и симм. (симметрия  $C_{2v}$ ) конформациями в миним. базисе составляет 41,6 ккал/моль (расчет МПДП приводит к величине 33,6 ккал/моль). Методом ППДП со спектроскопич. параметризацией выполнены рас-

*хомол.,  
структур.,  
Pi, SE;*

*X. 1984, 19, N 23*

четыре энергий электронных переходов состояний  $^1A''$ ,  
 $^1B_2$ ,  $^1A_2$ , соотв-щих  $\pi\pi^*$ -переходам. Для несимметричной  
 $N_2O_3$  найден электронный переход с энергией 642,4 нм,  
а для симметричной  $N_2O_3$  — с энергиями 397 и 396 нм.

А. Е. Смоляр

*ONNO<sub>2</sub>*

*Оп. 16590*

*1983*

20 Б175. Изучение интерконверсии и характеристика асимметричного и симметричного триоксида азота в матрицах оксида азота методами КР- и ИК-спектроскопии. Interconversion studies and characterization of asymmetric and symmetric dinitrogen trioxide in nitric oxide matrices by Raman and infrared spectroscopy. Nour E. M., Chen L.-H., Laane J. «J. Phys. Chem.», 1983, 87, № 7, 1113—1120 (англ.)

Изучены ИК-спектры в области 400—2000 см<sup>-1</sup> и спектры КР (100—2000 см<sup>-1</sup>) асимм. триоксида азота ONNO<sub>2</sub> (I), синтезированного из NO и O<sub>2</sub>, взятых в ~~в~~ отношении 5:15:1 в NO, Ar, N<sub>2</sub> и CO<sub>2</sub> матрицах при 12 К. Из-за наличия избытка NO в спектрах матриц наблюдался ряд полос димера N<sub>2</sub>O<sub>4</sub>. Спектроскопически обнаружено, что при фотолизе матрицы I излучением Kr<sup>+</sup>-лазера с  $\lambda$  568,2, 647,1; 676,4 и 752,6 нм в течение 10—120 мин происходит полная конверсия I в симм. триоксид ONONO (II), а фотолиз матрицы II излучением Ar<sup>+</sup>-лазера с  $\lambda$  514,5 и 488,0 нм вызывает обратную конверсию II в I. Сделаны отнесения всех 9 фундаментальных колебаний I и 7 колебаний II в

*1/1, оп. 16590*

*(4)*

*X. 1983, 19,  
N 20*

ИК- и КР-спектрах I, II для изотопических разновидностей  $^{14}\text{N}_2\text{O}_3$  и  $^{15}\text{N}_2\text{O}_3$ . Эксперим. отнесения подтверждены расчетами частот и форм нормальных колебаний молекул I, II для моделей симметрии  $C_{2v}$ . Уточнены отнесения вал. кол.  $\nu_6$  (N—N)  $266 \text{ см}^{-1}$  и неплоского деформац. колебания  $\nu_8$  ( $\text{NO}_2$ )  $627 \text{ см}^{-1}$  в спектрах I. Значения частоты и силовой постоянной  $0,57 \text{ мдин/}\text{\AA}$  колебания  $\nu_8$  характеризуют связь N—N как весьма слабую, хотя и более сильную, чем предполагалось ранее и подтверждает предположение, что структура связей в I может быть описана на основе слегка возмущенных индивидуальных молекул  $\text{NO}_2$  и NO. Значение силовой постоянной мостиковой связи N—O в II составило  $3,61 \text{ мдин/}\text{\AA}$ . Отмечена важная роль избытка молекул NO для реализации фотоницированной интерконверсии I  $\rightleftharpoons$  II.

А. Н. Курский

на  
и и

*N2O<sub>3</sub>*

от 16590 1983

10 Д473. Изучение интерконверсии и характеристика асимметричных и симметричных молекул трехокиси диазота в матрицах окиси азота методами спектроскопии комбинационного рассеяния света и ИК-поглощения. Interconversion studies and characterization of asymmetric and symmetric dinitrogen trioxide in nitric oxide matrices by Raman and infrared spectroscopy. Nour E. M., Chen L.-H., Laane J. «J. Phys. Chem.», 1983, 87, № 7, 1113—1120 (англ.)

Получены ИК-спектры ( $4000—450\text{ см}^{-1}$ ) молекул трехокиси диазота (I), изолированных в матрицах окиси азота при т-ре 12 К, а также спектры комб. рас. матрично-изолированных молекул I при возбуждении лазерными линиями в диапазоне 488,0—752,6 нм. Проведен анализ норм. колебаний и определены значения силовых постоянных связей сим. и асим. конформеров I в матрице. Обнаружено, что в пучке длинноволн. (568,2—752,6 нм) излучения наблюдается конформационный переход из асим. в сим. изомер I в матрице, тогда как при коротковолн. облучении (488,0—

*спектр, vi,*

*алл. ЛОСИ.*

*ср. 1983, 18, N 10*

514,5 нм) происходит обратный переход из сим. в асим. форму I. Величины силовых постоянных связей N—N и N—O в асим. и сим. конформациях матрично-изолированных молекул I равны 0,57 и 3,61 мдин/Å соответственно. Библ. 17.

И. В. А.

$O_2NNO$   
 $(N_2O_3)$

Om. 16590

1983

KK u CKP,  
Acc. NOCM.,  
Di

C.A. 1983, 98, N 16.

98: 134490s Interconversion studies and characterization of asymmetric and symmetric dinitrogen trioxide in nitric oxide matrixes by Raman and infrared spectroscopy. Nour, E. M.; Chen, L. H.; Laane, J. (Dep. Chem., Texas A and M Univ., College Station, TX 77843 USA). *J. Phys. Chem.* 1983, 87(7), 1113-20 (Eng). The 1st laser Raman spectra of both asym. dinitrogen trioxide (*as*- $N_2O_3$ ,  $O_2NNO$ ) and sym. dinitrogen trioxide (*s*- $N_2O_3$ , ONONO) were collected by stabilizing these species in NO matrixes at 12 K. Laser irradn. at wavelengths from 5682 to 7526 Å converts *as*- $N_2O_3$  to *s*- $N_2O_3$  but wavelengths of 5145 or 4880 Å convert the sym. isomer back to the asym. one. The Raman data along with the IR spectra of several isotopic species (with  $^{15}N$  and/or  $^{18}O$ ) for both mols. made it possible to resolve previous ambiguities in the vibrational assignments of these isomers and to carry out meaningful force const. calcs. for them. The N-N stretching frequency at 266  $\text{cm}^{-1}$  for *as*- $N_2O_3$  and its stretching force const. of  $f_{NN} = 0.57$  mdyn/Å both are characteristic of a very weak bond, although these values are higher than previously proposed. The N-O single bond stretching force const. for *s*- $N_2O_3$  was 3.61 mdyn/Å.

№ 103

Om. 18292 ) . 1984

11 Б1025. Теоретическое изучение относительной стабильности изомеров  $N_2O_3$ . A theoretical study of the relative stability of the isomeric forms of  $N_2O_3$ . Jubert Alieid H., Varetti Eduardo L., Villag Hugo O., Castro Eduardo A. «Theor. chim. acta», 1984, 64, № 4, 313—316 (англ.)

В базисах ОСТ-3 ГФ, 4—31 ГФ и 6—31 ГФ проведены неэмпирич. расчеты электронной структуры, геометрич. параметров и относит. стабильности изомеров молекулы  $N_2O_3$ : асимм. ONNO<sub>2</sub> (I) и симм. ONONO (II). Установлено, что рассчитанная для I геометрия значительно лучше согласуется с экспериментом, чем данные полуэмпирич. методов ППДП/2, МЧПДП/3, ЧПДП, ППДП/С-КВ. Расчет показал, что наиболее стабильной конформацией изомера II (на 4,31 ккал/моль) является цис-конформация, при этом потенциальный барь-

расчет изомер.  
структур,  
стабильности

X. 1984, 19, № 11

ер для перехода из цис- в транс-конформацию составляет 7,12 ккал/моль. Найдено, что изомер II более стабилен, чём изомер I, хотя, как обнаружено экспериментально, только последний существует в газовой фазе. Этот факт объясняется тем, что при газофазной реакции между NO и NO<sub>2</sub> образование I более предпочтительно кинетически.

О. А. Басченко

N<sub>2</sub>O<sub>3</sub>

Он. 18 292

1984

6 Д126. Теоретическое исследование относительной устойчивости изомерных форм N<sub>2</sub>O<sub>3</sub>. A theoretical study of the relative stability of the isomeric forms of N<sub>2</sub>O<sub>3</sub>. Jubert Alicia H., Varetti Eduardo L., Villalag Hugo O., Castro Eduardo A. «Theor. chim. acta», 1984, 64, № 4, 313—316 (англ.)

Электронное строение молекулы N<sub>2</sub>O<sub>3</sub> рассчитано не-эмпирич. методом ССП с использованием сгруппированных гауссовых базисов ОСТ-31Ф, 4-31 ГФ и 6-31 ГФ. Определены координаты минимумом потенц. поверхности, соответствующих асимметричному изомеру (ONNO<sub>2</sub>) и цис-и трансконформациям симметричного изомера ONONO. Установлено, что цисконформер имеет энергию на 4,31 ккал/моль ниже, чем трансконформер; высота потенц. барьера заторможенного вращения в ONONO составила 7,12 ккал/моль. Аналогичные расчеты N<sub>2</sub>O<sub>3</sub> выполнены при помощи полуэмпирич. процедур в рамках приближения нулевого диффер. перекрытия. Показано, что такой подход приводит к неудовлетворительным оценкам геометрич. параметров обоих изомеров.

А. В. Зайцевский

расчет ст.,  
и.п., циссерр;  
структур.

ср. 1984, 18,  
№ 6

N<sub>2</sub>O<sub>3</sub>

(Dm. 18292) 1984

100: 74324p A theoretical study of the relative stability of the isomeric forms of nitrogen oxide (N<sub>2</sub>O<sub>3</sub>). Jubert, Alicia H.; Varetti, Eduardo L.; Villar, Hugo O.; Castro, Eduardo A. (Fac. Cienc. Exactas, Univ. Nac. La Plata, 47y 115, 1900 La Plata, Argent.). *Theor. Chim. Acta* 1984, 64(4), 313-16 (Eng). The electronic structure, geometrical parameters, and relative stability of the isomeric forms of N<sub>2</sub>O<sub>3</sub> were analyzed by means of ab-initio calcns. Total energies of the different isomers are given. The energy difference between the most stable conformers of sym. N<sub>2</sub>O<sub>3</sub> is 4.31 kcal/mol, as provided by a 6-31 G basis set. The height of the rotational barrier detd. by the ab-initio technique is 7.12 kcal/mol.

cm af enth.  
upomereb,

V<sub>o</sub>, meop: fac-  
rem.

C.A.1984, 100, N10

*N<sub>2</sub>O<sub>3</sub>*

(Pm. 18592) 1984

7.11.72. Интенсивности ИК-поглощения N<sub>2</sub>O<sub>3</sub>. Infra-red absorption intensities for N<sub>2</sub>O<sub>3</sub>. Каганн Роберт Н., Маки Артур Г. «J. Quant. Spectrosc. and Radiat. Transfer», 1984, 31, № 2, 173—176 (англ.)

С помощью фурье-спектрометра получены спектры ИК-поглощения образованной в двух обратимых реакциях N<sub>2</sub>O<sub>3</sub> в газовой фазе. Реагирующие компоненты при общем давл. 155 мм рт. ст. с добавлением азота до 1 атм изучены с разрешением 0,06 см<sup>-1</sup>. Парциальные давления различных окислов азота определены по литературным данным о константах равновесия реакций. Выполнено разделение полос. Измерены интегр. интенсивности полос поглощения ν<sub>1</sub> и ν<sub>3</sub> N<sub>2</sub>O<sub>3</sub>, составляющие 1500 и 1200 см<sup>-2</sup>·атм<sup>-1</sup> соответственно.

М. В. Т.

cf. 1984, 18, N 7

Nadz

1984

2 Д99. Расчет силового поля симметричной молекулы  $\text{N}_2\text{O}_3$ . Force field study of the symmetric dinitrogen trioxide molecule. Mohan S., Subramanian K. «Proc. Indian Nat. Sci. Acad.», 1984, A50, № 2, 156—160 (англ.)

Выполнен анализ норм. координат молекулы ONONO с симметрией  $C_{2v}$ . Из литературных данных по частотам основных колебаний, измеренных по ИК-спектру  $\text{N}_2\text{O}_3$ , приближенным методом кинетич. констант вычислены гармонические силовые постоянные  $\text{N}_2\text{O}_3$ . Вычислены также среднеквадратичные амплитуды колебаний, постоянные кориолисова взаимодействия и квартичного центробежного искажения этой молекулы. М. Р. Алиев

М.Р., Иш.  
посм-

сб. 1986, 18, № 2

*N<sub>2</sub>O<sub>3</sub>*

*1984*

4 Б1268. Исследование силового поля симметричной молекулы триоксида азота. Force field study of the symmetric dinitrogen trioxide molecule. Mohan S., Subramanian K. «Proc. Indian Nat. Sci. Acad.», 1984, A 50, № 2, 156—160 (англ.)

Методом кинетич. постоянных рассчитано силовое поле молекулы N<sub>2</sub>O<sub>3</sub> симметрии C<sub>2v</sub>. Расчет проведен для блоков симметрии A<sub>1</sub> и B<sub>1</sub> в рамках модели обобщенного валентно-силового поля. Силовая постоянная f<sub>rr</sub> (N=O) вдвое выше величины f<sub>r</sub> (N—O), силовые постоянные f<sub>rrr</sub> вносят существенный вклад в потенциальную ф-цию N<sub>2</sub>O<sub>3</sub>. С полученными силовыми постоянными рассчитаны средн. амплитуды колебаний при 298,16 К, кориолисовы постоянные колебательно-вращат. взаимодействия (A<sub>1</sub>×B<sub>1</sub>) и постоянные центробежного искажения. Г. М. Курамшина

*см. лист 1,  
л. 1, № 1.*

*X. 1986, 19, N 4*

*N<sub>2</sub>O<sub>3</sub>*

1984

101: 160269b Force field study of the symmetric dinitrogen trioxide molecule. Mohan, S.; Subramanian, K. (Madras Inst. Technol., Anna Univ., Madras, 600 044 India). *Proc. Indian Natl. Sci. Acad., Part A* 1984, 50(2), 156-60 (Eng). A force field study of the sym. N<sub>2</sub>O<sub>3</sub> mol. was carried out. All the general quadratic force consts. were calcd. using the kinetics consts. method which in turn were utilized to evaluate the vibrational mean amplitudes, Coriolis coupling consts., and centrifugal distortion consts. for this mol.

Chel. NOCM,  
NOCM. Serempo  
Searh. UCR.

C.A. 1984, 101, N18

*N<sub>2</sub>O<sub>3</sub>*

*1986*

19 Б1345. Константы квадрупольного взаимодействия азота-14 в N<sub>2</sub>O<sub>3</sub>, определенные методом изотопозамещения. Nitrogen-14 quadrupole coupling constants in N<sub>2</sub>O<sub>3</sub> by isotopic labelling. Cox A. Peter, Randell Jeremy, Legon A. C. «Chem. Phys. Lett.», 1986, 126, № 6, 481—486 (англ.)

(*i, II. n.*)

Измерены МВ-спектры O<sup>15</sup>N...NO<sub>2</sub> и ON...<sup>15</sup>NO<sub>2</sub> с использованием импульсной методики введения газа (смесь NO/NO<sub>2</sub> с Ar) через сопло в МВ-эталон Фабри—Перо. Определены частоты переходов 101—000, 111—000, 212—111, 211—110 O<sup>15</sup>N...NO<sub>2</sub> и ON...<sup>15</sup>NO<sub>2</sub>, а также 1<sub>01</sub>—0<sub>00</sub> и 1<sub>11</sub>—0<sub>00</sub> O<sup>15</sup>N...<sup>15</sup>NO<sub>2</sub>. Рассчитаны постоянные квадрупольного взаимодействия

*X. 1986, 19, N 19*

для  $O^{15}N \dots NO_2$  —  $\chi_{aa} = -1,7999(13)$ ,  $\chi_{bb} = 0,0808(17)$ ,  
 $\chi_{cc} = 1,7191(17)$  МГц и  $ON \dots ^{15}NO_2$  —  $\chi_{aa} = -0,5203$   
(20),  $\chi_{bb} = -4,1981(19)$ , и  $\chi_{cc} = 4,7183(19)$ . На основа-  
нии анализа расщеплений в спектре  $O^{15}N \dots ^{15}NO_2$  вы-  
числены константы магн. взаимодействия для  $^{14}N$  и  $^{15}N$   
в  $ON \dots ^{15}NO_2$ , равные  $0,0080(11)$  и  $-0,015(3)$  МГц  
соотв. С учетом имеющихся данных для  $ON \dots NO_2$   
рассчитан полный тензор квадрупольного взаимодейст-  
вия для  $NO_2$ -группы.

С. Б. Осин

*N<sub>2</sub>O<sub>3</sub>*

1986

*NOCM · XbaF -  
pyronoth ·  
MACLISERUL*

105: 51139w Nitrogen-14 quadrupole coupling constants in dinitrogen trioxide ( $\text{N}_2\text{O}_3$ ) by isotopic labelling. Cox, A. Peter; Randell, Jeremy; Legon, A. C. (Dep. Phys. Chem., Univ. Bristol, Bristol, UK BS8 1TS). *Chem. Phys. Lett.* 1986, 126(6), 481-6 (Eng). Several microwave transitions of  $\text{O}^{15}\text{N}-\text{NO}_2$  and  $\text{ON}-\text{NO}_2$  were measured under high resoln. using a pulsed-nozzle Fourier transform spectrometer. The  $^{14}\text{N}$  quadrupole coupling consts. in the inertial axis system were detd. for both N atoms. The quadrupole coupling consts. for  $\text{ON}-\text{NO}_2$  are  $eQq_{aa} = -0.5203(20)$  and  $eQq_{bb} = -4.1981(19)$  MHz, and for  $\text{O}^{15}\text{N}-\text{NO}_2$  are  $eQq_{aa} = -1.7999(13)$  and  $eQq_{bb} = 0.0808(17)$  MHz. The  $^{14}\text{N}$  quadrupole coupling detd. by S. G. Kukolich (1982) for the main species  $\text{ON}-\text{NO}_2$  should be reversed with respect to the NO and  $\text{NO}_2$  groups. Combining the present data with the main species consts. allows the complete quadrupole coupling tensor to be estd. for the  $\text{NO}_2$  group; the tensor in  $\text{N}_2\text{O}_3$  lies  $\leq 2^\circ$  of the N-N bond direction and  $\leq 0.4^\circ$  of the bisector of the ONO angle. Spin-rotation effects are significant for N in the NO group;  $C_{aa}$  is  $8 \pm 2$  kHz for  $^{14}\text{N}$  in  $\text{ON}-\text{NO}_2$  and  $-15 \pm 3$  kHz for  $^{15}\text{N}$  obtained directly from splittings in the spectrum of  $\text{O}^{15}\text{N}-\text{NO}_2$ .

c.A.1986, 105; N6

*N<sub>2</sub>O<sub>3</sub>*

*1986*

-) 9 Л177. Определение констант квадрупольного взаимодействия азота-14 в N<sub>2</sub>O<sub>3</sub> методом меченых изотопов.  
Nitrogen-14 quadrupole coupling constants in N<sub>2</sub>O<sub>3</sub> by isotopic labelling. Cox A. Peter, Dandell Jeremy, Legon A. C. «Chem. Phys. Lett.», 1986, 126, № 6, 481—486  
(англ.)

Изучены вращательные спектры (область 7000—16 000 МГц) O<sup>15</sup>N...NO<sub>2</sub> (I) и ON...<sup>15</sup>NO<sub>2</sub> (II), полученных в свободно расширяющейся струе смеси <sup>15</sup>NO<sub>2</sub>—<sup>14</sup>NO<sub>2</sub>—Аг. Произведено отнесение линий к различным типам переходов. Оценены константы квадрупольного взаимодействия для <sup>14</sup>N в I и II, а также константы спин-вращательного взаимодействия для <sup>14</sup>N и <sup>15</sup>N в II.

В. В. Белякова

*сб. 1986, 18, № 9*

№283

011 30014 1988

Ф1Л221. Фурье-спектроскопия высокого разрешения  $nv_1$  ( $n=1-4$ ) полос  $N_2O_3$ . A high resolution FTIR spectroscopic study of the  $nv_1$  ( $n=1-4$ ) bands of  $N_2O_3$  / Chewter Leslie A., Smith Ian W. M., Yarwood Gregorу // Mol. Phys.— 1988.— 63, № 5.— С. 843—864.— Англ.

С помощью фурье-спектрометра получены спектры ИК-поглощения  $N_2O_3$  с разрешением  $0,005\text{ см}^{-1}$  в области валентного колебания  $v_1$  и его обертонаов вплоть до третьего при т-ре  $230\text{ K}$ . В условиях неполного разрешения вращательной структуры, опираясь на ее детали, связь между моментами инерции и сравнивая наблюденные спектры с рассчитанными, авторы определили колебательные частоты и вращательные постоянные молекулы в основном и возбужденных состояниях. По ширинам линий оценено время жизни молекулы в высоковозбужденных состояниях, лежащих выше предела диссоциации. Эта величина показывает, что перенос энергии с моды  $v_1$  на другие незначителен.  
Библ. 37.

М. В. Т.

ф. 1989, № 1

*N.D.  
N<sub>2</sub>O<sub>3</sub>*

*01.30.014*

*1988*

24 Б1386. Исследование методом ИК-фурье-спектроскопии высокого разрешения полос  $n\nu_1$  ( $n=1-4$ )  $N_2O_3$ . A high resolution FTIR spectroscopic study of the  $n\nu_1$  ( $n=1-4$ ) bands of  $N_2O_3$ . Chewter L. A., Smith I. W. M., Yarwood G. «Mol. Phys.», 1988, 63, № 5, 843—864 (англ.)

*III-1.*  
На ИК-фурье-спектрометре высокого разрешения измерены спектры полос  $\nu_1$  в обл. частот 1800—1850  $cm^{-1}$  с разрешением 0,005  $cm^{-1}$ ,  $2\nu_1$  в обл. 3600—3660  $cm^{-1}$  с разрешением 0,006  $cm^{-1}$ ,  $3\nu_1$  в обл. 5370—5430  $cm^{-1}$  с разрешением 0,015  $cm^{-1}$  и  $4\nu_1$  в обл. 7105—7165  $cm^{-1}$  с разрешением 0,5  $cm^{-1}$   $N_2O_3$  при т-ре 231 К. Для основной полосы и первых двух обертонов определены вращат. постоянные. По началам полос определена постоянная ангармоничности  $x_{11} = -15,5 cm^{-1}$ . По изменениям вращат. постоянных с ростом номера обертона составлена простая модель для представления структурных изменений молекулы с возбуждением  $n\nu_1$ . Верхние состояния всех обертонных полос расположены выше предела диссоциации  $N_2O_3 \rightarrow NO + NO_2$ .

С. Н. Мурзин

*X. 1988, N 24*

1988

N2O3

30014

On

P. J. Frauman  
NOCMORLH.

C.A. 1988, 109 N2.

109: 13372c A high-resolution FTIR spectroscopic study of the  $\nu_1$  ( $n = 1-4$ ) bands of nitrogen oxide ( $N_2O_3$ ). Chewter, Leslie A.; Smith, Ian W. M.; Yarwood, Gregory (Dep. Chem., Univ. Birmingham, Birmingham, UK B15 2TT). *Mol. Phys.* 1988, 63(5), 843-64 (Eng). The fundamental and 1st 3 overtone bands assoc. with the  $\nu_1$  (NO stretching) vibration of the planar, asym. top mol.  $N_2O_3$  were studied at  $\sim 230$  K under high spectral resoln. using a Fourier transform IR spectrometer. Even for the  $\nu_1$  band, where the spectrum is obtained at  $0.005\text{ cm}^{-1}$  resoln., the complexity of the rotational structure defies complete anal. However, from (1) the sharp P and R branch features assoc. with coincidences between transitions with high J and low K, (2) simulations of the shape of the main type A Q branch, and (3) the relationship between the 3 moments of inertia of a planar mol., it was possible to deduce the wavenumbers of the band origins ( $\nu_1^0 = 1329.535(2)$ ,  $2\nu_1^0 = 3628.03(5)$ ,  $3\nu_1^0 = 5394.124(10)$  and  $4\nu_1^0 = 7128.5 \pm 1\text{ cm}^{-1}$ ) and, for  $\nu_1$ ,  $2\nu_1$  and  $3\nu_1$ , the rotational consts., A', B' and C'. Hot bands make a considerable contribution to the spectrum in the region of each main band. A no. of type A Q branches were assigned and, from the frequency shifts from the origin of the train bands, the anharmonicity consts.  $x_{16}$ ,  $x_{17}$  and  $x_{19}$  were estd. The upper states of the overtone bands all lie above the dissoci. limit for  $N_2O_3 \rightarrow NO + NO_2$ . The linewidths obsd. for some transitions in the  $2\nu_1$  and  $3\nu_1$  bands indicate lifetimes of (120-300) ps and >150 ps, resp., demonstrating that intramol. energy flow from the  $\nu_1$  mode is relatively slow and that, in this respect,  $N_2O_3$  exhibits "non-RRKM behavior".

*ONNO<sub>2</sub>*

*07.07.33.93 1990*

*12 Б1118. Электронные и колебательные свойства ONNO<sub>2</sub> и ONNSO. Electronic and vibrational properties of ONNO<sub>2</sub> and ONNSO / Maluendes S. A., Jubert A. H., Castro E. A. // J. Mol. Struct. Theochem. — 1990. — 204. — С. 145—151.— Англ.*

*Неэмпирическим методом ССП с использованием базисных наборов MINI-3 (А), MINI-3\* (Б), 3—21 ГФ, 3—21 ГФ\*, 3—21 ГФ\*\*, 6—31 ГФ и 6—31 ГФ\* проведены расчеты электронного и геометрич. строения и частот колебаний систем ONNO<sub>2</sub> (I) и ONNSO (II). Обсуждено влияние кач-ва базисного набора на результаты расчетов. Результаты расчетов сопоставлены с эксперим. данными и результатами проведенных авторами расчетами методом конфигурац. взаимодействия с ограниченным учетом одно- и двукратных возбуждений в базисах А и Б. Показано, что для правильного описания длины связи NN в I и II необходимо учитывать электронную корреляцию (длина этой связи на уровне ССП приблизительно на 0,2 Å занижена). Сделан вывод, что обе молекулы могут рассматриваться как два взаимодействующих фрагмента ON и NO<sub>2</sub>/SNO.*

*И. Н. Сенченя*

*Д(4)*

*Х. 1990, N 12*

*NaD<sub>3</sub>*

*On 33193*

*1990*

112: 125490x Electronic and vibrational properties of nitrogen oxide ( $\text{ONNO}_2$ ) and nitrogen oxide sulfide ( $\text{ONNSO}$ ). Maluendes, S. A.; Jubert, A. H.; Castro, E. A. (Div. Quim. Teor., INIFTA, 1900 La Plata, Argent.). *THEOCHEM* 1990, 63, 145-51 (Eng). The geometry, electronic, and vibrational properties of  $\text{ONNO}_2$  and  $\text{ONNSO}$  were analyzed by means of ab initio calcns. The geometrical parameters of both mols., calcd. with different basis sets, can be compared fairly well with exptl. results, with the exception of the N-N bond length which could be described only by using a limited direct configuration-interaction calcn. The calcd. vibrational modes of  $\text{ONNO}_2$  were compared with those previously measured and a different assignment was proposed for several bands. In the case of  $\text{ONNSO}$  the calcn. was used predictively since its vibrational spectrum has not been completely assigned.

*NaD<sub>3</sub>*  
*commune*

(+) *NaD<sub>3</sub>*

c.A.1990, 112, N 14

*ONNO<sub>2</sub>*

*On 33193*

*1990*

6 Д99. Электронные и колебательные свойства ONNO<sub>2</sub> и ONNSO. Electronic and vibrational properties of ONNO<sub>2</sub> and ONNSO / Maluendes S. A., Jubert A. H., Castro E. A. // J. Mol. Struct. Theochem.— 1990.— 204.— С. 145—151.— Англ.

Неэмпирическим методом ССПМО ЛКАО в нескольких базисах сгруппированных гауссовых ф-ций от минимальных до 6-31ГФ\*\* с частичным учетом конфигурац. взаимодействия исследовано электронное строение ONNO<sub>2</sub> и ONNSO. Приведены равновесная геометрия, колебательные частоты. Геометрия хорошо согласуется с эксперим. данными, однако длины связей N—N получаются сильно заниженными и только при учете конфигурац. взаимодействия согласуются с эксперим. значениями. Проведено уточненное отнесение полос в колебательных спектрах. Показано, что обе системы можно рассматривать как продукты взаимодействия NO с NO<sub>2</sub> и NSO соответственно. В. Л. Лебедев

*М.Л.*

(11) 18

*φ. 1990, № 6*

1990

ON-NO<sub>2</sub>

4 Д156. Квантовотопологическое описание зарядовой плотности в молекулах ON-NO<sub>2</sub> и ON-NSO. Quantum topological description of the charge density of the ON-NO<sub>2</sub> and ON-NSO molecules / Stradella O. G., Maluendes S. A., Castro E. A., Jubert A. H. // J. Mol. Struct. Theochem. — 1990. — 210. — С. 169—174. — Англ.

Неэмпирическим методом ССП МО ЛКАО в базисе 6-31ГФ\* для атомов S и 6-311ГФ\* для остальных атомов с оптимизацией геометрии в базисе 6-31ГФ исследовано электронное строение ON-NO<sub>2</sub> (I), ON-NSO (II) и фрагментов NO, NO<sub>2</sub> и NSO и модельных молекул N<sub>2</sub>H<sub>4</sub>, N<sub>2</sub>H<sub>2</sub> и N<sub>2</sub>. Для критич. точек связей и точек конц-ии заряда связей рассчитаны топологич. параметры — электронные плотности, значения лапласиана плотности (мера изменения электронного заряда), плотности хартри-фоковской энергии, эллиптичности связей, отношения сжатий зарядовой плотности в перпендикулярном и парал. направлениях и расстояния между критич. точками и ядрами. Оценены ионности связей в I и II и подробно проанализирована их природа.

В. Л. Лебедев

1991, № 4

*N<sub>2</sub>O<sub>3</sub>*

*07 36373 1991*

11 Б1107. Теоретическое исследование колебательной предиссоциации N<sub>2</sub>O<sub>3</sub>. Theoretical investigation of the vibrational predissociation of N<sub>2</sub>O<sub>3</sub> / Bintz Karen L., Thompson Donald L. // Chem. Phys. Lett.— 1991.— 187, № 1—2.— С. 116—172.— Англ.

Методом классич. траекторий рассчитаны скорости колебат. предиссоциации (КП) молекулы N<sub>2</sub>O<sub>3</sub> при различном выборе начальных условий и энергии колебат. возбуждения 22—27,4 ккал/моль. Использована модельная потенциальная поверхность. Обнаружена заметная чувствительность скорости КП к возбуждениям колебаний разных типов. Наиболее эффективны возбуждения колебаний  $\nu_4$  (деформация NO<sub>2</sub>) и  $\nu_3$  (симм. колебание NO<sub>2</sub>). Возбуждения  $\nu_1$  (NO) и  $\nu_2$  (асимм. колебание NO<sub>2</sub>) приводят к более медленной КП. Вывод о нестатистич. характере КП в целом согласуется с эксперим. наблюдениями. Различие в теор. и эксперим. временах жизни (до порядка величины) предположительно отнесено к перераспределению энергии нулевых колебаний в классич. расчетах.

А. А. Бучаченко

*X. 1992, N 11*

*ONNO<sub>2</sub>*

*1991*

116: 159319w Valence bond studies of the nitrogen-nitrogen bonds of dinitrogen dioxide, nitrosyl nitrite, dinitrogen tetroxide, and N-methylenemethanionidamide. Harcourt, Richard D. (Sch. Chem., Univ. Melbourne, Parkville, 3052 Australia). *Croat. Chem. Acta* 1991, 64(3), 399-414 (Eng). The results of some STO-5G valence bond calcns. are presented for a cis ONNO component of each of ONNO<sub>2</sub> and O<sub>2</sub>NNO<sub>2</sub>, and the CNNC component of trans CH<sub>2</sub>NNCH<sub>2</sub>. These studies provide support for the hypothesis that the -NO nitrogen AO, which is involved in the formation of the (fractional) N-N σ bond of ONNO<sub>2</sub>, is primarily 2p in character, and oriented at right angles to the N-O internuclear axis, rather than along the N-N internuclear axis. Whereas delocalization of oxygen lone-pair electrons into the AOs of the N-N σ bond is responsible for the N-N bond lengthening for N<sub>2</sub>O<sub>4</sub> relative to that of N<sub>2</sub>H<sub>4</sub>, the orientation and 2p character of the -NO nitrogen AO, as well as some delocalization of the oxygen lone-pair electrons, leads to the lengthening of the N-N bond of ONNO<sub>2</sub>. It has been shown previously (*J. Mol. Struct. (Theochem)* 206 (1990) 253) that

*(mcop. pauc)*

A ⑦

C.A. 1992, 116, N16

O<sub>2</sub>NNO<sub>2</sub> 4.9P.

repulsions between nitrogen lone-pair electrons, together with the nitrogen AO hybridization and orientation, are assocd. with the existence of a very long N-N bond in cis N<sub>2</sub>O<sub>2</sub>. These factors are said to operate in a different manner for the trans CNNC component of CH<sub>2</sub>NNCH<sub>2</sub>, for which the measured N-N bond length is essentially that of an N-N single bond. Consideration is given to the construction and properties of increased-valence structures for ONON, ONONO<sub>2</sub>, two NO<sub>2</sub> isomers, OSSO and S<sub>4</sub>, as well as for OONO, ONNO<sub>2</sub> and O<sub>2</sub>NNO<sub>2</sub>.

$N_2O_3$  Prasad P.D.S., Singh S.  
Nath. 1992

measures  
parameters  
Acta Cienc. Indica,  
Phys. 1992, 18(4), 335-  
342.

(see  $N_2O_2$ ;  $\text{III}$ )

$N_2O_3$

1993

118: 198699f Ab initio study on the structure of dinitrogen tetroxide: is there a  $D_{2d}$  conformer? Liu, Rui-feng; Zhou, Xue-feng (Dep. Chem. Biochem., Univ. Arkansas, Fayetteville, AR 72701 USA). *J. Phys. Chem.* 1993, 97(17), 4413-15. (Eng). Ab-initio calcns., at the MP2 level with the 6-31G\* and 6-311G\* basis sets, satisfactorily reproduced the exptl. structural and vibrational spectral features of the  $D_{2d}$  conformer of dinitrogen tetroxide. Calcns. at the same level, however, indicated that the  $D_{2d}$  conformation of this mol. is a transition state for the torsional motion around the N-N bond. Therefore, the previously obsd. matrix-IR spectral features should not be attributed to the  $D_{2d}$  structure of dinitrogen tetroxide.

Chrysanthemum,  
UK chemist  
& amateur

C.A. 1993, 118, N20

$N_2O_3$

1994

120: 176702r Molecular beam diode-laser spectrum of the  $\nu_3$  band of  $N_2O_3$  at  $1304\text{ cm}^{-1}$ . Andrews, Anne M.; Domenech, Jose L.; Fraser, Gerald T.; Lafferty, Walter J. (Mol. Phys. Div., Natl. Inst. Stand. Technol., Gaithersburg, MD 20899 USA). *J. Mol. Spectrosc.* 1994, 163(2), 428-35 (Eng). The IR spectrum of the  $\nu_3$  band of  $N_2O_3$  has been obsd. at  $1304\text{ cm}^{-1}$  using a slit-jet tunable-diode-laser spectrometer. A total of 439 IR transitions are fit to a precision of  $0.0003\text{ cm}^{-1}$ . Improved ground state rotational consts. are calcd. from ground state combination differences up to  $J'' = 20$ ,  $K_a'' = 10$ . A no. of weak perturbations are seen in the spectrum characterized by interaction matrix elements of  $0.002\text{--}0.01\text{ cm}^{-1}$ .

(uk, D3)

c.a. 1994, 120, N14

$N_2O_3^+$

1994

Snyder G., Sapse D.

ab initio  
pacrēm

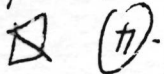
Chem. Phys. Lett.  
1994, 218 (4), 372-6.

(Ces.   $HeO_3^+$ ;  $\text{--}^{\text{III}}$ )

$N_2O_3$

1995

123: 209329s Why  $N_2O_2$  is cis while  $(CHO)_2$  is trans: MO and VB studies. Mo, Yirong; Zhang, Qianer (Dep. Chem., Xiamen Univ., Xiamen, Peop. Rep. China 361005). *Int. J. Quantum Chem.* 1995, 56(1), 19–26 (Eng). The nonempirical valence-bond method as well as the MO method are applied to investigate the structures of  $N_2O_2$  and  $(CHO)_2$ . Results show that in either mol. the  $\sigma$ -component tends toward a trans conformation; whereas, the  $\pi$ -component tends toward a cis conformation. Moreover, even if there are some long-range bonding overlaps in the cis structure, the bonding energy cannot counteract the increased Coulombic repulsive energy compared with the trans structure. In other words, for a cis conformation, there is a competition between the Coulombic destabilization and the  $\pi$  electronic stabilization. The latter is more preferable to a cis conformation of  $N_2O_2$ , while the Coulombic repulsive interaction should be responsible for the trans conformation of  $(CHO)_2$ . The nonempirical VB calcns. show that the  $\pi$  delocalization energy in  $N_2O_2$  is negligible, while the value in  $(CHO)_2$  is about 4.5 kcal/mol.



C.A. 1995, 123, N16

*N<sub>2</sub>O<sub>3</sub>*

OT 38135

1995

123: 353260e An ab initio study of the structure, vibrational frequencies and force field for the symmetric form of N<sub>2</sub>O<sub>3</sub>. Vladimiroff, T. (Building 3124, Armament Engineering Directorate, US Army ARDEC, Picatinny Arsenal, NJ 07806-5000 USA). THEOCHEM 1995, 342, 103-8 (Eng). The structure of sym. N<sub>2</sub>O<sub>3</sub> was studied using ab initio methods. Bond lengths and bond angles were detd. using the 6-31G\* and the 6-311G\* basis sets and both SCF and MP2 theory. At the highest level of theory considered, the N-O bond is 1.492 Å, the N = O bond was 1.168 Å, the N-O-N angle was 103.5° and the O = N-O bond angle is 109.9°. The mol. is planar at all levels of theory considered. Vibrational frequencies were computed for the sym. structure of N<sub>2</sub>O<sub>3</sub> at the 6-31G\*/MP2 level of theory. The calcd. vibrational frequencies are in better agreement with the alternate assignments than the preferred assignments reported previously. A new force field was derived for this mol. by starting with the theor. values and making small adjustments in such a way as to reproduce the exptl. obsd. vibrational frequencies. An attempt was made to det. the relative stability of the sym. and asym. forms of this mol. Results are also compared with recent d. functional calcns. on these mols.

*calcd. NOCM  
D<sub>i</sub>, empik-  
mmpa;  
ab initio*

C. A. 1995, 123, N26

*N<sub>2</sub>O<sub>3</sub>*

*Дн 38135*

*1995*

*D-18 Б1142. Неэмпирическое исследование структуры, колебательных частот и силового поля симметричной формы N<sub>2</sub>O<sub>3</sub>. An ab initio study of the structure, vibrational frequencies and force field for the symmetric form of N<sub>2</sub>O<sub>3</sub> / Vladimiroff T. // J. Mol. Struct. Theochem. — 1995 :— 342 .— С. 103—108 .— Англ.*

*Неэмпирическими методами ССП и МП2 с использованием базисов 6—31 ГФ\* и 6—311 ГФ\* исследована структура симметричной формы молекулы N<sub>2</sub>O<sub>3</sub>. Рассчитанные колебательные частоты (МП2/6—31 ГФ\*) сопоставлены с результатами др. исследований. Полученное новое силовое поле находится в хорошем согласии с экспериментальными и др. теоретическими данными.*

*Н. С.*

*X. 1996, N 18*

$N_2O_3$

1996

(Checkmp)

126: 38753f Visible spectrum of dinitrogen trioxide in aqueous solution. Doherty, Anne M. M.; Haine, Neil; Jones, Eleanor; Stedman, Geoffrey (Science Department, Worcester College of Higher Education, Worcester, UK WR2 6AJ). *J. Chem. Soc., Perkin Trans. 2* 1996, (10), 2055–2058 (Eng), Royal Society of Chemistry. The visible absorption spectrum of  $N_2O_3$  has been measured by stopped-flow mixing of solns. of  $NaNO_2$  and  $HNO_3$ . It has a max. at 630 nm,  $\epsilon = 29.3 \text{ dm}^3 \cdot \text{mol}^{-1} \cdot \text{cm}^{-1}$ . The spectrum is similar to that reported for solns. of  $N_2O_3$  in anhyd. org. solvents at low temps. Comparison with the blue species obsd. for solns. of  $NaNO_2$  in moderately concd.  $HClO_4$  and  $HNO_3$  shows that although the spectra are very similar there must be an addnl. species present in these very acidic media, possibly  $N_2O_3H^+$ .

C.A. 1997, 126, N3

*N<sub>2</sub>O<sub>3</sub>*

*1996*

**20Б1172.** Полоса  $\nu_1$   $\text{N}_2\text{O}_3$ . The  $\nu_1$  band in  $\text{N}_2\text{O}_3$   
Georges R., Liévin J., Herman M., Perrin A. // Chem.  
Phys. Lett.— 1996.— 256, № 6.— С. 675–678.— Англ.

*v<sub>1</sub>*  
Неэмпирическим расчетом в приближении МП2/6-31ГФ\* подтверждена интерпретация измеренной фундаментальной полосы  $\nu_1$  в спектре поглощения  $\text{N}_2\text{O}_3$  (с использованием интерферометра с Fourier-преобразованием и техники охлажденной струи), как связанной с хромофором  $\text{NO}_2$ .  
H. C.

*X. 1997, № 20*

N<sub>2</sub>O<sub>3</sub>

1996

125: 180095r The  $\nu_1$  band in N<sub>2</sub>O<sub>3</sub>. Georges, R.; Lievin, J.; Herman, M.; Perrin, A. (Lab. Chimie Physique Moléculaire CPi 160/09, Univ. Libre Bruxelles, B-1050 Brussels, Belg.). *Chem. Phys. Lett.* 1996, 256(6), 675-678 (Eng). The  $\nu_1$  fundamental band in N<sub>2</sub>O<sub>3</sub> was recorded in absorption at high spectral resoln. with a Fourier Transform interferometer, under jet cooled exptl. conditions. The rotational structure, corresponding to 44 K rotational temp., could be analyzed, leading to a set of precise upper state parameters. The absence of b-type lines in the

(D<sub>1</sub>)

spectrum, expected to occur from the direction of the Q<sub>1</sub> normal coordinate with respect to the principal axes of inertia, is fully justified by ab initio calcns. performed at the MP2/6-31G\* level, confirming the decisive role of the polarizing NO<sub>2</sub> chromophore in tilting the corresponding induced dipole moment towards the direction of the a axis. The calcns. also provide equil. geometry parameters.

C.A. 1996, 125, N 14

1996

$N_2O_3$

124: 158857y Ab initio Study of the structure, vibrational frequencies and force field of the symmetric form of  $N_2O_3$ . Vladimiroff, T. (Army Armament Res. Development Cent., Armament Eng. Directorate, Dover, NJ USA). Report 1995, (ARAED-TR-95008; Order No. AD-A-297096/0GAR), 16 pp. (Eng). Avail. NTIS. From Gov. Rep. Announce. Index (U. S.) 1996, 96(2), Abstr. No. 02-00,383. The structure of sym.  $N_2O_3$  was investigated using ab initio methods. Bond lengths and angles were detd. using the 6-31 G\* and 6-311 G\* basis sets using both SCF and MP2 theory. At the highest considered level of theory, the N-O bond was detd. as 1.492 Å, the N:O bond was 1.168 Å, the N-O-N angle was 103.5°, and the O:N-O bond angle was 109.9°. The mol. was detd. to be planar at all levels of theory considered. Vibrational frequencies were computed for the sym. structure of  $N_2O_3$  at the 6-31 G\*IMP2 level of theory. The calcd. vibrational frequencies are in better agreement with the alternate assignments than the preferred assignments of Nour et al. A new force field was derived for this mol. by starting with the theor. E values and making small adjustments in such a way as to reproduce the exptl. obsd. vibrational frequencies. An attempt was made to det. the relative stability of the sym. and asym. forms of this mol. Results are compared with d. functional calcns. on these mols.

COPYRIGHT,  
Di, Cell. NOCM  
ab initio  
pacem

C. fl. 1996, 124, v12.

D2 : N2D

1997

128: 94708y Spectroscopy and structure of the open-shell complex O<sub>2</sub>-N<sub>2</sub>O. Qian, Hai-Bo; Seccombe, Dominic; Howard, Brian J. (Physical and Theoretical Chemistry Laboratory, Oxford University, South Parks Road, Oxford, UK OX1 3QZ). *J. Chem. Phys.* 1997, 107(19), 7658-7666 (Eng). American Institute of Physics. The high-resoln. spectrum of O<sub>2</sub>-N<sub>2</sub>O, the 1st for a complex contg. >1 unpaired electron, was studied in the region of the  $\nu_3$  N<sub>2</sub>O monomer vibrational band using a mol. beam diode laser absorption spectrometer. The spectrum was completely analyzed using a newly developed effective Hamiltonian. The rotational consts. are accurately detd. for both ground and excited vibrational states. The equil. structure of the complex is planar, with a sepn. between the centers of the mass of 2 monomers of 3.423 Å. The structural angles were exptl. detd. as: either  $\theta_{O_2} = 58^\circ$  and  $\theta_{N_2O} = 77^\circ$ , or  $\theta_{O_2} = 122^\circ$  and  $\theta_{N_2O} = 100^\circ$ . The large amplitude motion of the monomers leads to the complex having an effective out-of-plane root mean square angle of  $\varphi = \varphi_1\varphi_2 = 23^\circ$ . An interpretation of the structure of the complex is given in terms of an intermol. potential using a model described by Muenter.

CHICKMP,  
CNP - PA

C.A. 1998, 128, N8

N<sub>2</sub>O<sub>3</sub>

1997

127: 24053m Ab initio study on the structure and vibrational spectra of dinitrogen trioxide and its isomers. Wang, Xuefeng; Zheng, Qike; Fan, Kangnian (Laser Chemistry Institute, Fudan University, Shanghai, Peop. Rep. China). *J. Mol. Struct.* 1997, 403(3), 245–251 (Eng). Elsevier. Equil. geometries, dipole moments, harmonic vibrational frequencies, and IR intensities have been calcd. for a set of dinitrogen trioxide conformers by ab initio calcns. at the MP2 level with the 6-31G\* and 6-311G\* basis sets. The calcn. results satisfactorily reproduce the exptl. structural and vibrational spectral features of asym-N<sub>2</sub>O<sub>3</sub> and sym-N<sub>2</sub>O<sub>3</sub>. Calcns. at the same levels indicate that the *trans-cis* N<sub>2</sub>O<sub>3</sub> is also a stable conformer of N<sub>2</sub>O<sub>3</sub>, and previously obsd. matrix IR spectral features that were not properly assigned should be attributed to the *trans-cis* structure of dinitrogen trioxide. However, our results show that the other two estd. conformers, Cs-N<sub>2</sub>O<sub>3</sub> and *cis-cis*-N<sub>2</sub>O<sub>3</sub>, are considered to be transition states.

ab initio  
calcns  
M.N.

C.A. 1997, 127, N 2

1998

N<sub>2</sub>O<sub>3</sub>

N<sub>4</sub>O<sub>6</sub>

N<sub>8</sub>O<sub>12</sub>

ab initio  
pacem

128: 326784a Ab Initio Study of Nitrogen-Oxygen Clusters:  
N<sub>2</sub>O<sub>3</sub>, N<sub>4</sub>O<sub>6</sub>, and N<sub>8</sub>O<sub>12</sub>. Evangelisti, Stefano (Dipartimento di Chimica  
Fisica e Inorganica, Universita di Bologna, 40136 Bologna, Italy). *J.  
Phys. Chem. A* 1998, 102(25), 4925-4929 (Eng), American Chemical  
Society. An ab initio study on three hypothetical nitrogen-oxygen  
clusters is presented. The investigated systems are N<sub>2</sub>O<sub>3</sub>, N<sub>4</sub>O<sub>6</sub>, and  
N<sub>8</sub>O<sub>12</sub> with highly sym. geometries, D<sub>3h</sub>, T<sub>d</sub>, and O<sub>h</sub> symmetry, resp.  
Calcns. were performed at SCF and MP2 level (MP2, for the two small-  
est clusters only). Several basis sets were used, from 3s2p to 4s3p2d1f,  
depending on the cluster size. These structures were found to have local

✓ min., with energies very high above the products of a fragmentation  
reaction (N<sub>2</sub> and O<sub>2</sub>). According to these calcns., NO clusters are  
potentially interesting as high-energy-d. materials.

C.A. 1998, 128, N26

*Nd<sub>3</sub> isomers*

*1998*

130: 116631p Isomers of N<sub>2</sub>O<sub>3</sub>: Observation of trans-cis N<sub>2</sub>O<sub>3</sub> in solid Ar. Lee, Cheng-I.; Lee, Yuan-Pern; Wang, Xuefeng; Qin, Qi-Zong (Department of Chemistry, National Tsing Hua University, Hsin-chu, Taiwan 30043). *J. Chem. Phys.* 1998, 109(23), 10446–10455 (Eng), American Institute of Physics. Two isomers of N<sub>2</sub>O<sub>3</sub>, asym.-N<sub>2</sub>O<sub>3</sub> and sym-N<sub>2</sub>O<sub>3</sub>, are identified with IR (IR) absorption when mixts. of NO-NO<sub>2</sub>-Ar or NO-O<sub>2</sub>-Ar are deposited onto a target at 13 K Upon irradn. with a XeCl excimer laser at 308 nm, asym.-N<sub>2</sub>O<sub>3</sub> is converted to sym-N<sub>2</sub>O<sub>3</sub> and a new form of N<sub>2</sub>O<sub>3</sub>, trans-cis N<sub>2</sub>O<sub>3</sub>; the latter is readily converted to sym-N<sub>2</sub>O<sub>3</sub> upon further irradn. with red light. Assignments of IR absorption lines to each conformer in its isotopic variants are based on <sup>18</sup>O-isotopic substitution and photoconversion expts. For asym.-N<sub>2</sub>O<sub>3</sub>, the authors obsd. <sup>18</sup>O-isotopic shifts of a few vibrational modes previously unresolved in a N<sub>2</sub> matrix, confirming that O-atoms

*UK chemists  
of Ar*

C.A. 1999, 130, N9

in the NO<sub>2</sub> moiety are inequivalent. For sym-N<sub>2</sub>O<sub>3</sub>, a more nearly complete set of isotopic shifts for absorption lines at 1688.6, 971.0, and 704.6 cm<sup>-1</sup> enables one to provide refined assignments. Lines at 1722.5 and 1721.1 cm<sup>-1</sup> are assigned to sym. stretching modes of 2 terminal N:O groups of <sup>18</sup>ON<sup>16</sup>ON<sup>16</sup>O and <sup>18</sup>ON<sup>18</sup>ON<sup>16</sup>O; they gain IR activity because C<sub>2v</sub> symmetry is broken. Trans-cis N<sub>2</sub>O<sub>3</sub> with an asym. ON-ONO structure is identified with absorption lines at 1704.5, 1665.7, 877.8, and 243.0 cm<sup>-1</sup>. Isotopic expts. indicate that this species contains 2 nearly isolated N:O groups. Spectral assignments are supported by theor. calcns. with d.-functional theories (BLYP and B3LYP); previous assignments of low-energy vibrational modes of asym.-N<sub>2</sub>O<sub>3</sub> and sym-N<sub>2</sub>O<sub>3</sub> are revised based on comparison with calcns. Photoconversion among these isomers is discussed.

$(N_2O)_3^+$       pm. 39815 }      1998

Sergey A. Nizkorodov,  
et al.,

Chem. Phys. 1998, 239,

369-378.

Photofragment ● atom dynamics

of the  $\text{CN}_2\text{D}_2^+$  and  $(\text{NeD})_3^+$

cis, trans N<sub>2</sub>O<sub>3</sub>

1998

✓ 128: 314418w A new conformer of dinitrogen trioxide in low temperature matrix: trans-cis N<sub>2</sub>O<sub>3</sub>. Wang, Xuefeng; Qin, Qi-Zong (Laser Chemistry Institute, Fudan University, Shanghai, Peop. Rep. China 200433). *Spectrochim. Acta, Part A* 1998, 54A(4), 575-580 (Eng). Elsevier Science B.V.. Matrix isolated FTIR spectroscopy has been applied to investigate the N<sub>2</sub>O<sub>3</sub> conformers in a low-temp. matrix. The irradn. of an argon matrix contg. NO and NO<sub>2</sub> with a pulsed laser at 355 nm causes the enhancement of a new set of vibrational bands, which results from the conversion of asym-N<sub>2</sub>O<sub>3</sub> to a new conformer, trans-cis N<sub>2</sub>O<sub>3</sub>. The obsd. vibrational frequencies and relative intensities of the conformer are in good agreement with d. functional theory (DFT) calcns. at BLYP/6-31G\* level. Upon annealing, the thermally induced conversion of the trans-cis N<sub>2</sub>O<sub>3</sub> into sym-N<sub>2</sub>O<sub>3</sub> takes place. Properties of trans-cis N<sub>2</sub>O<sub>3</sub> conformer are detd. for the first time.

CHEKMP

C.A. 1998, 128, N28

46-40828

2000

F: N2O3-

P: 3

133:22679 A theoretical investigation of the  
N2O3- anion isomers. Chen, M.; Zhou, M.; Qin, Q.

Laser Chemistry Institute, Fudan University  
Shanghai, Peop. Rep. China Chem. Phys.

Lett., 321(5,6), 498-503 (English) 2000 The  
structures, binding energies and vibrational  
frequencies of various N2O3- structural isomers  
have been detd. using the B3LYP and MP2 methods.  
NO2--NO complexes with different coordinations and  
one N2O-O2- complex ar to be min. on the potential  
energy surface. The three NO2--NO complexes N2O-  
O2- complex are predicted to be stable with respect  
to NO2- + NO and O2-, resp.

C.A. 2000, 133

$\text{NaD}_3^-$

Qu. 40228

2000

133: 22679v A theoretical investigation of the  $\text{N}_2\text{O}_3^-$  anion isomers. Chen, M.; Zhou, M.; Qin, Q. (Laser Chemistry Institute, Fudan University, Shanghai, Peop. Rep. China). *Chem. Phys. Lett.* 2000, 321(5,6), 498-503 (Eng), Elsevier Science B.V. The structures, binding energies and vibrational frequencies of various  $\text{N}_2\text{O}_3^-$  structural isomers have been detd. using the B3LYP and MP2 methods. Three  $\text{NO}_2^-$ -NO complexes with different coordinations and one  $\text{N}_2\text{O}-\text{O}_2^-$  complex are found to be min. on the potential energy surface. The three  $\text{NO}_2^-$ -NO complexes and the  $\text{N}_2\text{O}-\text{O}_2^-$  complex are predicted to be stable with respect to  $\text{NO}_2^- + \text{NO}$  and  $\text{N}_2\text{O} + \text{O}_2^-$ , resp.

copy K Mypa,  
Di, Heppel  
cheque, me open  
pacem

C.A. 2000, 133, N2